



Potentiels optiques

ou comment sonder la structure nucléaire
avec des nucléons

E. Bauge

CEA DIF

Bruyères-le-Chatel

Plan

1. Sonder la structure nucléaire
2. Potentiel optique : utilisation
3. Couplages et collectivité
4. Construction microscopique
5. Anti-résumé

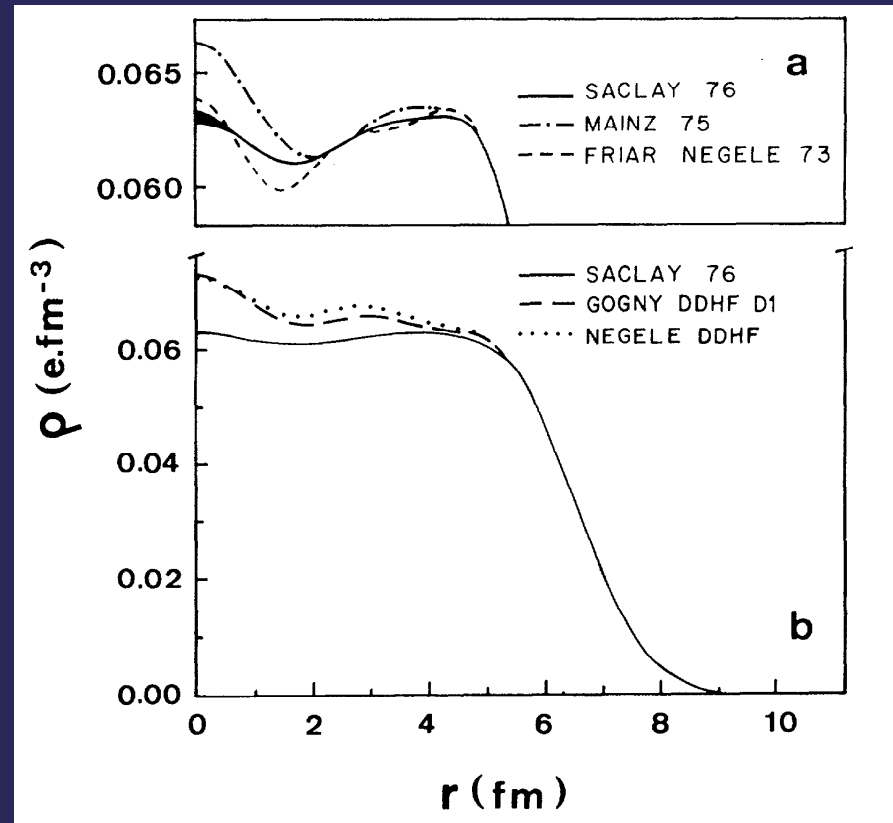
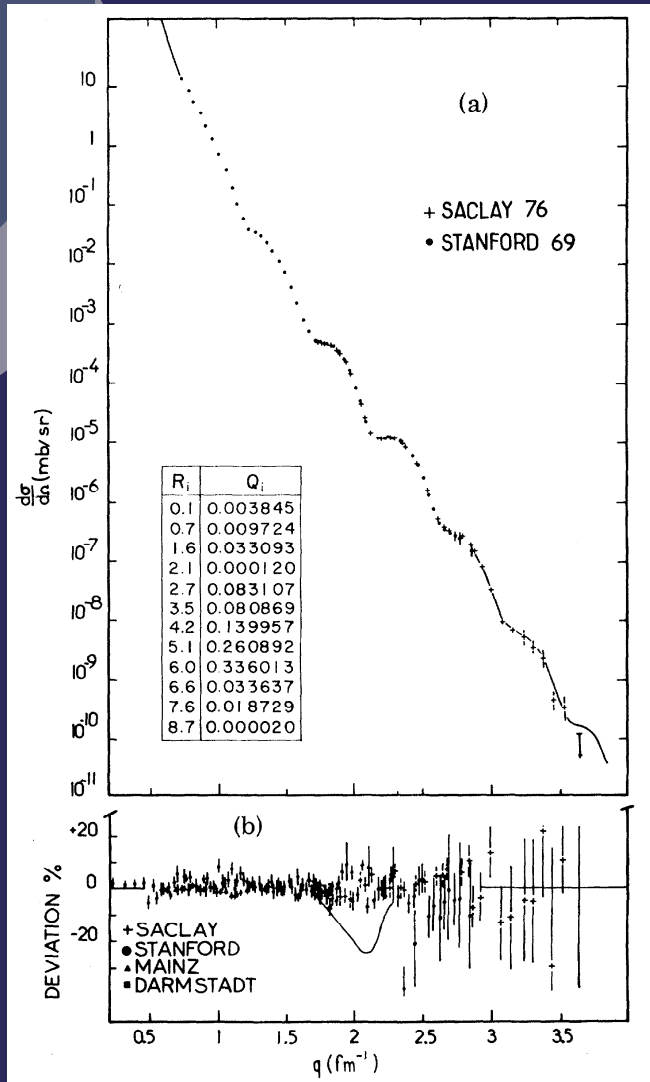
Sonder la structure nucléaire

Cas « idéal » : diffusion d'électrons

- Interaction Coulombienne connue et de longue portée
- Pas d'échange entre nucléons et électrons
- Interprétation aisée et non ambiguë
- Test direct des théories de structure nucl.

MAIS ne sonde que les protons

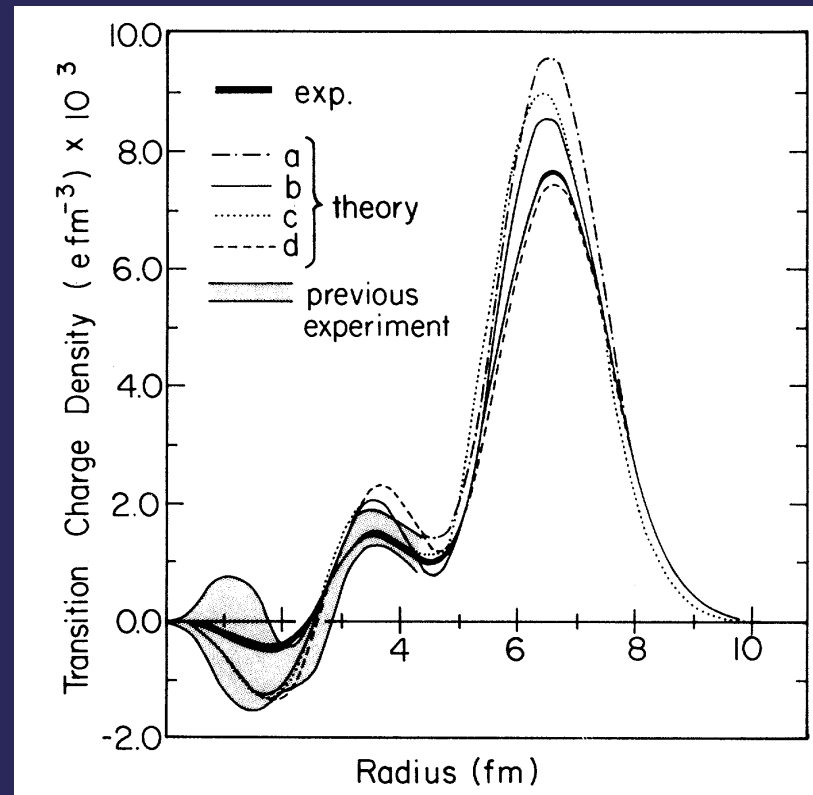
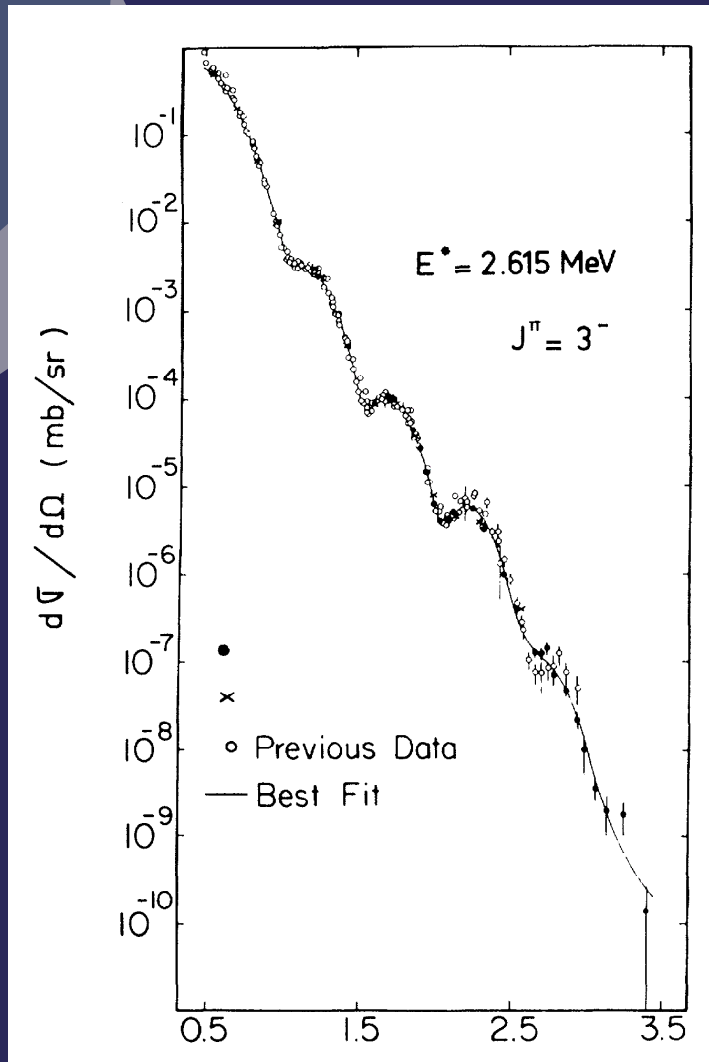
Sonder la structure nucléaire : Diffusion élastique d'électrons



$^{208}\text{Pb}(e,e)$

B. Frois *et al.*, Phys. Rev. Lett. **38**, 152 (1977)

Sonder la structure nucléaire : Diffusion inélastique d'électrons



$^{208}\text{Pb}(e,e')$

D Goutte *et al.*, Phys. Rev. Lett. **45**, 1618 (1980)

Sonder la structure nucléaire :

Diffusion élastique et inélastique d'électrons

Pour passer à des cibles instables

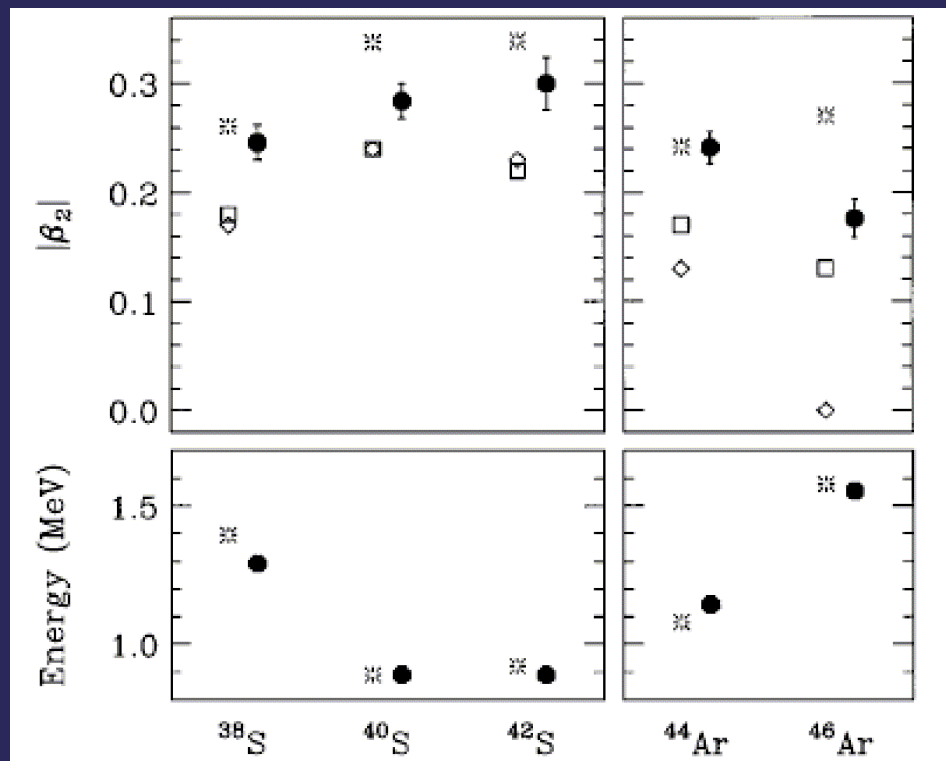
Collisionneurs e-ion en construction:

ELISE à GSI FAIR (Allemagne)

Riken (Japon)

Sonder la structure nucléaire : Excitation coulombienne

Mêmes qualités et défauts que la diffusion inélastique d'électrons
+ possibilité de cible instables (cinématique inverse)
- seule la structure des excitations est accessible



$^{197}\text{Au}(X,X')$

I. Scheit *et al.*, Phys. Rev. Lett. **77**, 3967 (1996)

Sonder la structure nucléaire :

Diffusion de nucléons

- Interaction nucléaire inconnue et de courte porté (≈ 1 fm)
- Echange (Q) entre la sonde et la cible
- Interprétation modèle-dépendante (**modèle optique**)
- Permet aussi un test fin des modèles de structure nucléaire

MAIS sonde les neutrons et les protons

Le modèle optique : bases

Problème : modéliser l'interaction *directe* d'un projectile ($n, p, d, t, \alpha, \dots$) avec une cible A_ZX .

2 types de solution :

Solution compliquée: résoudre le pb à A corps (cas nucléon-noyau) en traitant sur un pied d'égalité des états discrets et des états de diffusion.

Solution moins compliquée: calculer un potentiel à un corps qui rend compte de l'interaction projectile-cible:

Le potentiel optique $U(r, E, \dots)$

Potentiel optique: Hypothèse majeure

Les degrés de liberté internes de la cible sont séparables du mouvement relatif cible-projectile.

$$\Psi = \phi \cdot \chi(\vec{r})$$

Ψ : fonction d'onde complète

ϕ : fonction d'onde associée aux degrés de liberté internes

$\chi(r)$: fonction d'onde relative cible-projectile

Potentiel optique: Hypothèse majeure

$$\Psi = \phi \cdot \chi(\vec{r})$$

ϕ solution de l'équation de Schrödinger interne (structure nucléaire)

$$(H_i - E_i)\phi = 0$$

$\chi(r)$ solution de l'EDS du mouvement relatif cible-projectile

$$(T + U - \varepsilon)\chi(r) = 0$$

Avec U le potentiel optique à 1 corps

Potentiel optique U : Complexe

Expérimentalement on constate une perte de flux dans la voie élastique lors de diffusion nucléon-noyau.

$$\begin{array}{l} \chi_x^* \left\{ \begin{array}{l} (T + U - \varepsilon)\chi(r) = 0 \\ \chi^*(T + U - \varepsilon)\chi = 0 \\ - \chi(T + U^* - \varepsilon)\chi^* = 0 \end{array} \right. \end{array} \quad \chi_x \text{ equ. conjuguée}$$

$$-\frac{\hbar^2}{2\mu} (\chi^* \nabla^2 \chi - \chi \nabla^2 \chi^*) + (U - U^*) \chi \chi^* = 0$$

Potentiel optique U : Complexe

$$-\frac{\hbar^2}{2\mu} (\chi^* \nabla^2 \chi - \chi \nabla^2 \chi^*) + (U - U^*) \chi \chi^* = 0$$

On reconnaît:

$$\nabla \cdot \vec{j} = \frac{\hbar}{2i\mu} (\chi^* \nabla^2 \chi - \chi \nabla^2 \chi^*)$$

$$(U - U^*) = 2i \operatorname{Im}(U)$$

Et donc:

$$\hbar \nabla \cdot \vec{j} = 2 \chi \chi^* \operatorname{Im}(U)$$

La disparition (ou l'apparition) de flux est proportionnelle à la partie imaginaire du potentiel optique.

Donc U complexe (puisque du flux disparaît expérimentalement)

Potentiel optique: Lien avec le libre parcours moyen

Pour un potentiel $U=-(V+iW)$ constant (indep. de r)

$\chi(r)$ est une onde plane:

$$\chi(\vec{r}) = e^{i\vec{k}\cdot\vec{r}}$$

En inversant l'EDS:

$$k^2 = \frac{2\mu}{\hbar^2} (E + V + iW)$$

$$k = \left(\frac{2\mu}{\hbar^2} (E + V) \right)^{1/2} \left(1 + \frac{iW}{E + V} \right)^{1/2}$$

Si $W \ll E + V$: au 1er ordre

$$k = \left(\frac{2\mu}{\hbar^2} (E + V) \right)^{1/2} \left(1 + \frac{1}{2} \frac{iW}{E + V} \right)$$

$\chi(r)$ devient:

$$\chi(\vec{r}) = e^{i \left(\frac{2\mu}{\hbar^2} (E + V) \right)^{1/2} \cdot \vec{r}} \times e^{- \left(\frac{\mu}{2\hbar^2} \right)^{1/2} \frac{|W|}{(E - V)^{1/2}} \cdot \vec{r}}$$

Libre parcours moyen :

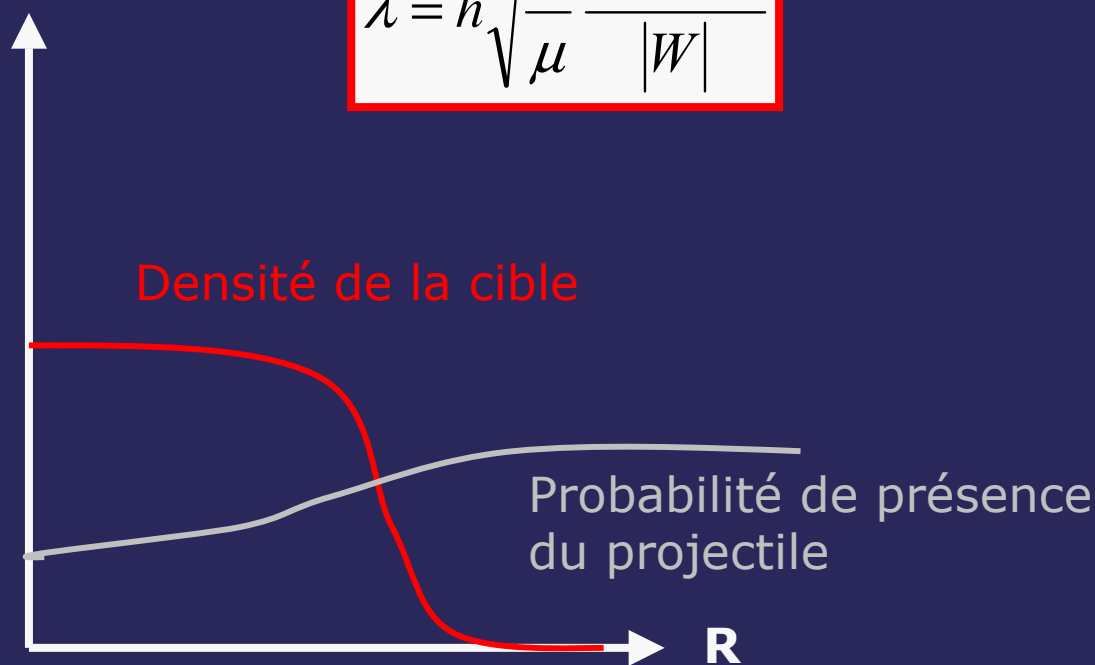
$$\lambda = \hbar \sqrt{\frac{2}{\mu} \frac{\sqrt{E + V}}{|W|}}$$

Potentiel optique: Lien avec le libre parcours moyen

Pour un potentiel $U=-(V+iW)$ constant (indep. de r)

Libre parcours moyen :

$$\lambda = \hbar \sqrt{\frac{2}{\mu} \frac{\sqrt{E+V}}{|W|}}$$



+ courte portée \rightarrow tout le noyau n'est pas sondé uniformément !

La diffusion de nucléons sonde préférentiellement
la surface des noyaux

Section efficace d'absorption

$$\sigma_{abs} = \frac{-\int \vec{\nabla} \cdot \vec{j} d^3 r}{j_{inc}}$$

$$\hbar \vec{\nabla} \cdot \vec{j} = 2\chi\chi^* \text{Im}(U)$$

$$\sigma_{abs} = -\frac{2}{\hbar j_{inc}} \int \chi\chi^* W(\vec{r}) d^3 r$$

En décomposant $\chi(\vec{r})$ en ondes partielles:

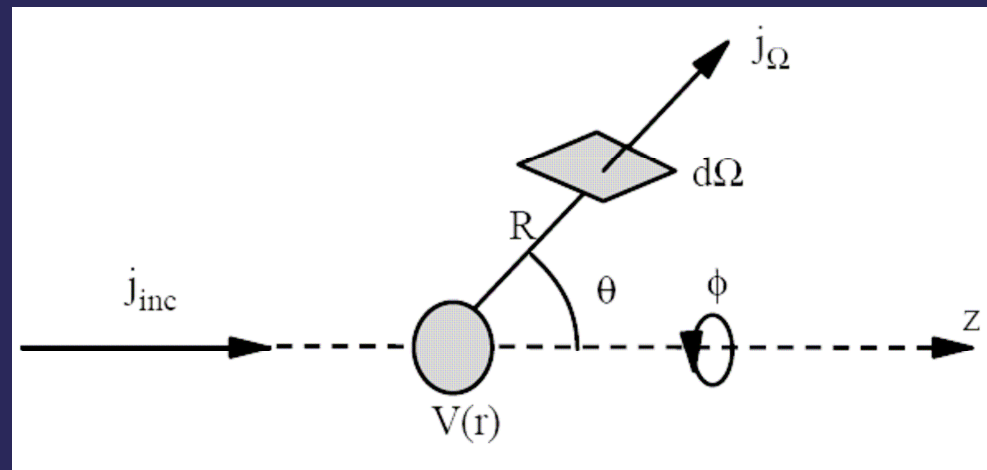
$$\chi(\vec{r}) = \frac{1}{kr} \sum_{\ell=0}^{\infty} (2\ell+1) i^\ell u_\ell(r) P_\ell(\cos \theta)$$

$$\sigma_{abs} = -\frac{2}{\hbar j_{inc}} \frac{4\pi}{k^2} \sum_{\ell=0}^{\infty} (2\ell+1) \int_0^{\infty} |u_\ell(r)|^2 W(r) dr$$

Section efficace élastique

On cherche à calculer $d\sigma_{el}(\Omega)$ l'élément de section efficace élastique dans la direction Ω

$$d\sigma_{el}(\Omega) = \frac{\vec{j}_{el}(\Omega)}{\vec{j}_{inc}}$$



Section efficace élastique

Si la fonction d'onde asymptotique à l'infini est la somme de l'onde plane incidente et d'une onde sphérique diffusée:

$$\chi(\vec{r} \rightarrow \infty) \propto e^{i\vec{k} \cdot \vec{r}} + f(\Omega) \frac{e^{ikr}}{r}$$

Le flux du courant de probabilité diffusé à travers $d\Omega$ est de la forme:

$$\vec{j}_{el}(\Omega) d\Omega = \frac{\hbar}{2i\mu} \left[f^*(\Omega) \frac{e^{-ikr}}{r} \frac{\partial}{\partial r} \left(f(\Omega) \frac{e^{ikr}}{r} \right) - f(\Omega) \frac{e^{ikr}}{r} \frac{\partial}{\partial r} \left(f^*(\Omega) \frac{e^{-ikr}}{r} \right) \right] d\Omega$$

qui se simplifie en

$$j_{el}(\Omega) d\Omega = |f(\Omega)|^2 \frac{\hbar k}{\mu} d\Omega = |f(\Omega)|^2 j_{inc} d\Omega$$

d'où:

$$\frac{d\sigma_{el}}{d\Omega} = |f(\Omega)|^2$$

et

$$\sigma_{el} = \int_{4\pi} |f(\Omega)|^2 d\Omega$$

Calculer $f(\Omega)$

Pour cela on décompose en ondes partielles $\chi(r)$ et on élimine les parties angulaires de l'EDS.

$$\chi(\vec{r}) = \frac{1}{kr} \sum_{\ell=0}^{\infty} (2\ell+1) i^{\ell} u_{\ell}(r) P_{\ell}(\cos \theta)$$

$$\left(\frac{d^2}{dr^2} - \frac{\ell(\ell+1)}{r^2} - \frac{2\mu}{\hbar^2} U(r) + k^2 \right) u_{\ell}(r) = 0$$

avec

$$k^2 = \frac{2\mu}{\hbar^2} E$$

pour $r \rightarrow \infty$ u_{ℓ} est de la forme

$$u_{\ell}(r \rightarrow \infty) = a_{\ell} \frac{i^{-\ell} e^{i\delta_{\ell}} e^{ikr} - i^{\ell} e^{-i\delta_{\ell}} e^{-ikr}}{2i}$$

$\chi(r)$ devient

$$\chi(r) = \frac{1}{2ik} \sum_{\ell=0}^{\infty} (2\ell+1) P_{\ell}(\cos \theta) a_{\ell} \left((-)^{\ell+1} e^{-i\delta_{\ell}} \frac{e^{-ikr}}{r} + e^{i\delta_{\ell}} \frac{e^{ikr}}{r} \right)$$

Calculer $f(\Omega)$

On décompose en ondes partielles $f(\theta)$, $\chi(r)$ et l'onde plane.

$$\chi(\vec{r} \rightarrow \infty) \propto e^{i\vec{k} \cdot \vec{r}} + f(\Omega) \frac{e^{ikr}}{r}$$

$$f(\theta) = \sum_{\ell=0}^{\infty} (2\ell + 1) f_{\ell} P_{\ell}(\cos \theta)$$

$$\chi(r) = \frac{1}{2ik} \sum_{\ell=0}^{\infty} (2\ell + 1) P_{\ell}(\cos \theta) \left((-)^{\ell+1} \frac{e^{-ikr}}{r} + (1 + 2ik f_{\ell}) \frac{e^{ikr}}{r} \right)$$

Et on compare à l'expression du transparent précédant

$$\chi(r) = \frac{1}{2ik} \sum_{\ell=0}^{\infty} (2\ell + 1) P_{\ell}(\cos \theta) a_{\ell} \left((-)^{\ell+1} e^{-i\delta_{\ell}} \frac{e^{-ikr}}{r} + e^{i\delta_{\ell}} \frac{e^{ikr}}{r} \right)$$

Calculer $f(\Omega)$

En identifiant les deux expressions

$$\chi(r) = \frac{1}{2ik} \sum_{\ell=0}^{\infty} (2\ell + 1) P_{\ell}(\cos \theta) \left((-)^{\ell+1} \frac{e^{-ikr}}{r} + (1 + 2ik f_{\ell}) \frac{e^{ikr}}{r} \right)$$

$$\chi(r) = \frac{1}{2ik} \sum_{\ell=0}^{\infty} (2\ell + 1) P_{\ell}(\cos \theta) a_{\ell} \left((-)^{\ell+1} e^{-i\delta_{\ell}} \frac{e^{-ikr}}{r} + e^{i\delta_{\ell}} \frac{e^{ikr}}{r} \right)$$

On tire:

$$f_{\ell} = \frac{1}{2ik} \left(e^{2i\delta_{\ell}} - 1 \right)$$

avec

$$f(\theta) = \sum_{\ell=0}^{\infty} (2\ell + 1) f_{\ell} P_{\ell}(\cos \theta)$$

Calculer $f(\Omega)$ et δ_ℓ

$$f_\ell = \frac{1}{2ik} (e^{2i\delta_\ell} - 1)$$

avec

$$f(\theta) = \sum_{\ell=0}^{\infty} (2\ell + 1) f_\ell P_\ell(\cos \theta)$$

En pratique on résout numériquement u_ℓ dans la zone où $U \neq 0$

$$\left(\frac{d^2}{dr^2} - \frac{\ell(\ell+1)}{r^2} - \frac{2\mu}{\hbar^2} U(r) + k^2 \right) u_\ell(r) = 0$$

Et on raccorde avec l'expression asymptotique de u_ℓ

$$u_\ell(r \rightarrow \infty) = a_\ell \frac{i^{-\ell} e^{i\delta_\ell} e^{ikr} - i^\ell e^{-i\delta_\ell} e^{-ikr}}{2i}$$

Pour déterminer $\delta_\ell \rightarrow f_\ell \rightarrow f(\Omega) \rightarrow d\sigma_{el}/d\Omega$

Section efficace élastique

En définissant:

$$S_\ell = e^{2i\delta_\ell} \quad \text{matrice de diffusion}$$

$$f(\theta) = \frac{1}{2ik} \sum_{\ell=0}^{\infty} \hat{\ell} (S_\ell - 1) P_\ell(\cos \theta)$$

avec

$$\hat{\ell} = 2\ell + 1$$

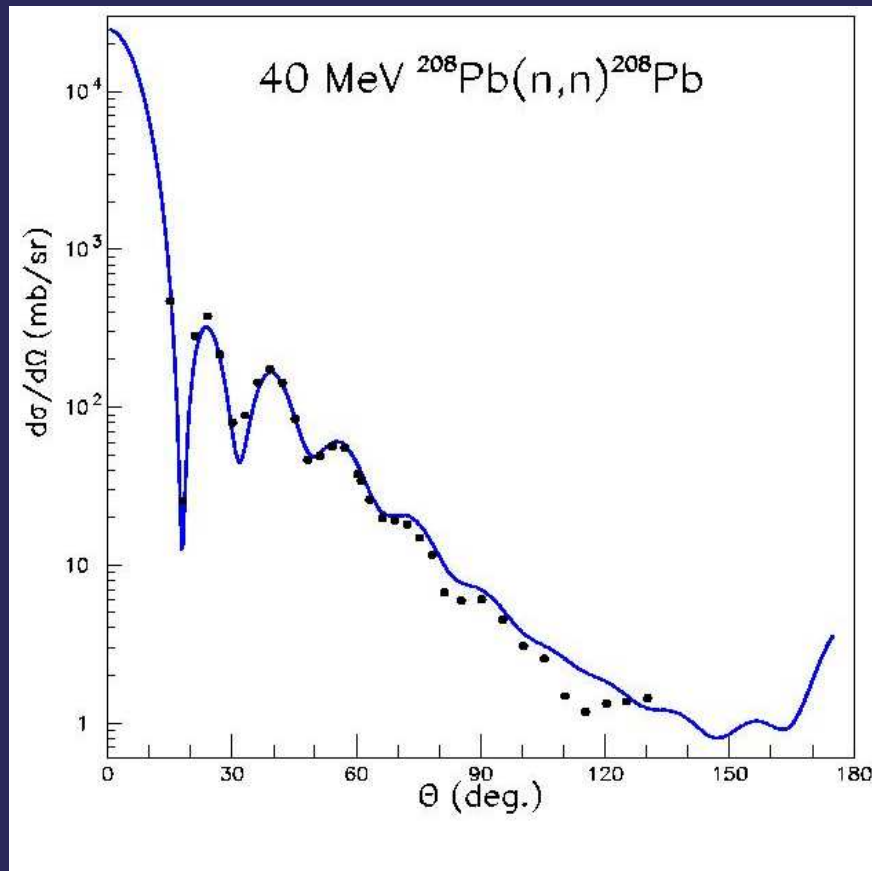
$$\frac{d\sigma_{el}}{d\Omega} = |f(\Omega)|^2 = \frac{1}{4k^2} \sum_{\ell, \ell'=0}^{\infty} \hat{\ell} \hat{\ell}' (S_\ell - 1)(S_{\ell'} - 1) P_\ell(\cos \theta) P_{\ell'}(\cos \theta)$$

En intégrant sur les angles en utilisant l'orthogonalité des Pl

$$\sigma_{el} = \sum_{\ell=0}^{\infty} \hat{\ell} |S_\ell - 1|^2$$

Section efficace élastique

$$\frac{d\sigma_{el}}{d\Omega} = |f(\Omega)|^2 = \frac{1}{4k^2} \sum_{l,l'=0}^{\infty} \hat{l}\hat{l}' (S_l - 1)(S_{l'} - 1) P_l(\cos\theta)P_{l'}(\cos\theta)$$



Retour à la section efficace d'absorption

Pour calculer σ_{abs} en fonction de S_l

On reprend une expression asymptotique de la fct d'onde

$$\chi(r \rightarrow \infty) = \frac{1}{2ik} \sum_{\ell=0}^{\infty} (2\ell + 1) P_{\ell}(\cos \theta) a_{\ell} \left((-)^{\ell+1} \frac{e^{-ikr}}{r} + S_{\ell} \frac{e^{ikr}}{r} \right)$$

Et on évalue la divergence du courant de probabilité

$$-\int \vec{\nabla} \cdot \vec{j} d^3r = \frac{\hbar\pi}{i\mu} r_{\rightarrow\infty}^2 \int_{-1}^1 \left(\chi^* \frac{\partial^2}{\partial r^2} \chi - \chi \frac{\partial^2}{\partial r^2} \chi^* \right) d(\cos \theta)$$

$$\sigma_{abs} = \frac{\pi}{k^2} \sum_{\ell=0}^{\infty} \hat{\ell} \left(1 - |S_{\ell}|^2 \right)$$

Section efficace totale et théorème optique

$$\sigma_{tot} = \sigma_{el} + \sigma_{abs} = \frac{2\pi}{k^2} \sum_{\ell=0}^{\infty} \hat{\ell} (1 - \text{Re}(S_{\ell}))$$

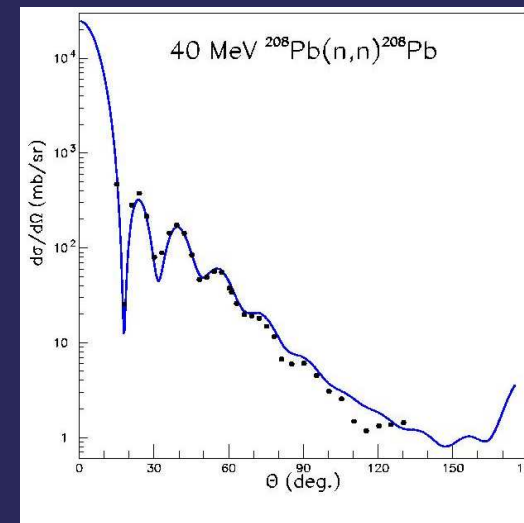
En comparant avec la partie imaginaire de $f(\theta=0)$

$$f(\theta=0) = \frac{1}{2ik} \sum_{\ell=0}^{\infty} \hat{\ell} (S_{\ell} - 1) P_{\ell}(\cos \theta = 0)$$

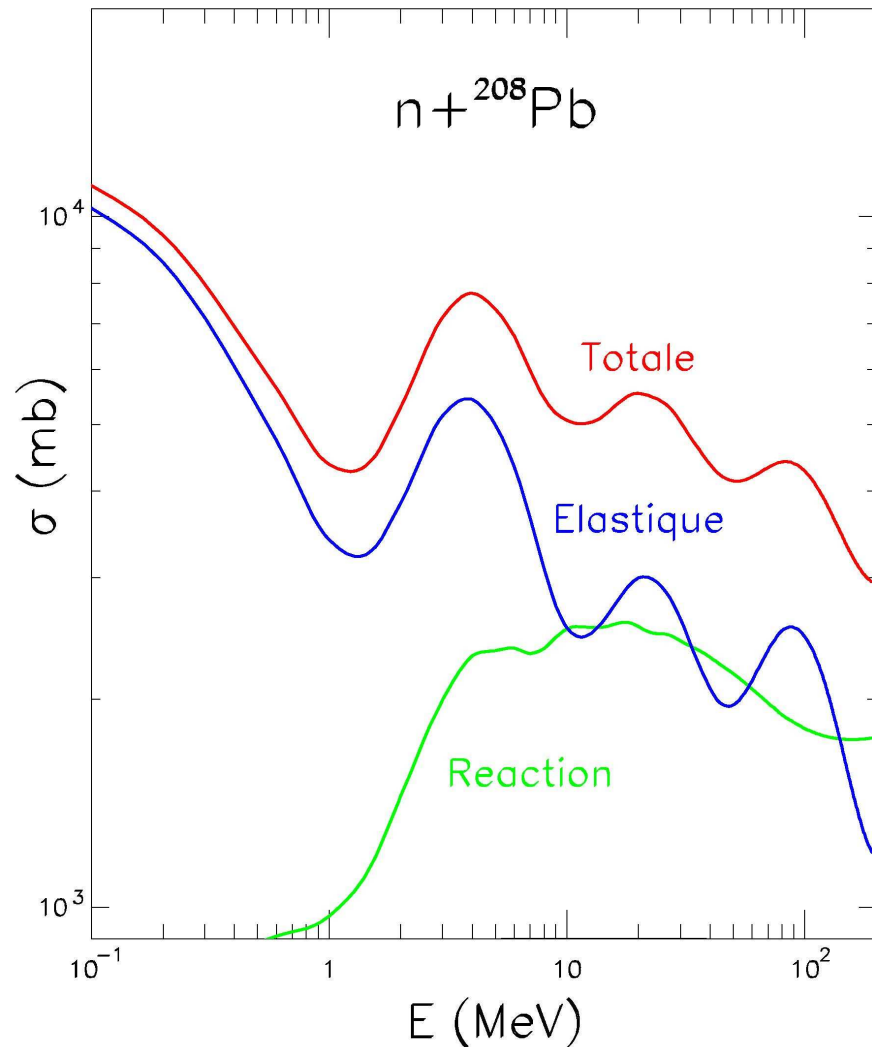
On remarque:

$$\sigma_{tot} = \frac{4\pi}{k} \text{Im}(f(\theta=0))$$

Relation entre la section efficace totale et la section efficace élastique à $\theta=0$



Sections efficaces en fct de S_l



$$\sigma_{el} = \sum_{\ell=0}^{\infty} \hat{\ell} |S_{\ell} - 1|^2$$

$$\sigma_{abs} = \frac{\pi}{k^2} \sum_{\ell=0}^{\infty} \hat{\ell} (1 - |S_{\ell}|^2)$$

$$\sigma_{tot} = \frac{2\pi}{k^2} \sum_{\ell=0}^{\infty} \hat{\ell} (1 - \text{Re}(S_{\ell}))$$

En pratique: calcul avec les codes ECIS et DWBA de J. Raynal

Equations couplées

$$(h - \varepsilon_i)\phi_i = 0$$

L'EDS interne de la cible a un spectre de solutions ε_i .

$$\Psi_i(\vec{r}, \xi) = \sum_{j=1}^N \chi_{ij}(\vec{r}) \phi_j(\xi)$$

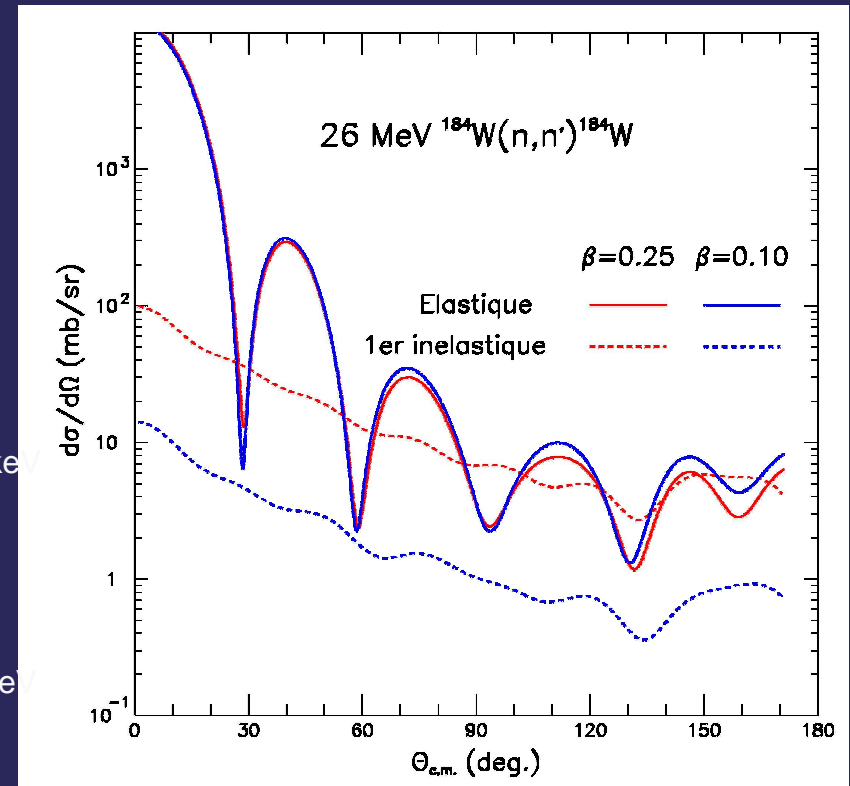
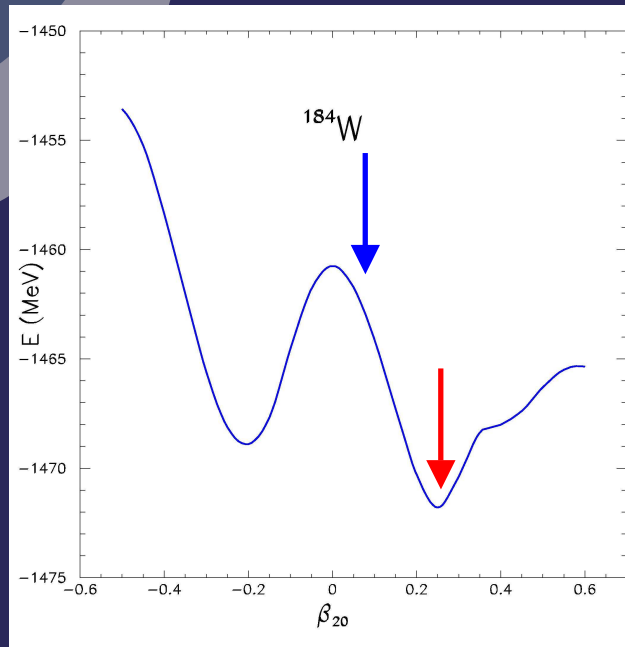
Ψ_i solution de l'EDS complète laissant le noyau cible dans l'état i

$$\left(-\frac{\hbar^2}{2\mu} \nabla^2 + U_{ii}(\vec{r}) - E_i \right) \chi_{ii}(\vec{r}) = \sum_{j \neq i} U_{ij}(\vec{r}) \chi_{ij}(\vec{r})$$

avec:
$$U_{ij}(\vec{r}) = \int \phi_i^*(\xi) V(\vec{r}, \xi) \phi_j(\xi) d\xi$$

La conservation du spin total de Ψ sélectionne les composantes de U_{ij} (décomposé en ondes partielles)

Collectivité, déformation, couplages



$$\begin{cases} (T+V_{00}-E) \\ (T+V_{22}-E) \end{cases} \quad \begin{cases} \Psi_0 = V_{02} \Psi_2 \\ \Psi_2 = V_{20} \Psi_0 \end{cases}$$

Non localité

Dans l'approche type Pb à N corps même si v est un potentiel local:

$$-\frac{\hbar^2}{2\mu} \nabla^2 \chi + \int \sum_{i=1}^A |\phi_i(\vec{r}_i)|^2 v(\vec{r} - \vec{r}_i) \chi(\vec{r}) - \phi_i^*(\vec{r}_i) \phi_i(\vec{r}) v(\vec{r} - \vec{r}_i) \chi(\vec{r}_i) d\vec{r}_i = E \chi(\vec{r})$$

L'échange produit de la non localité.

→ **Les potentiels optiques sont non-locaux**

On peut trouver des **approximations** locales du potentiel optique

$$\chi(\vec{r}) \tilde{U}(\vec{r}) = \int u(\vec{r}, \vec{r}') \chi(\vec{r}') d\vec{r}'$$

En développant $\chi(\vec{r}')$ autour de $\chi(\vec{r})$

$$\chi(\vec{r}') = \chi(\vec{r}) + (\vec{r} - \vec{r}') \nabla \chi(\vec{r}) + \frac{1}{2} (\vec{r} - \vec{r}')^2 \nabla^2 \chi(\vec{r}) + \dots$$

et en remarquant

$$\nabla = -\frac{p}{i\hbar}$$

$$\chi(\vec{r}) \tilde{U}(\vec{r}) = [U_0(\vec{r}) + U_2(\vec{r}) p^2 + \dots] \chi(\vec{r})$$

Dépendance en impulsion supplémentaire (masses effectives)

Construire un potentiel optique : Interaction effective

(Début d'un tunnel de théorie)

Dans l'approche à N corps: v potentiel nucléon-nucléon

Bonn, Paris, AV18,....

Cœur répulsif !

Traitement difficile

→ Interaction effective

On définit deux sous espaces des fct d'onde du système: p et q
 p sous espace correspondant à une diffusion élastique
 q complémentaire de p .

P et Q projecteurs sur p et q .

$$P^2 = P$$

$$Q^2 = Q$$

$$Q = 1 - P$$

$$PQ = QP = 0$$

$$P + Q = 1$$

Construire un potentiel optique : Interaction effective

$$P^2=P$$

$$Q^2=Q$$

$$Q=1-P$$

$$PQ=QP=0$$

$$P+Q=1$$

$$(H - E)\psi = 0$$

$$(H - E)(P + Q)\psi = 0$$

En développant

$$EP\psi + EQ\psi - HP\psi - HQ\psi = 0$$

$\times Q$

$$EQP\psi + EQQ\psi - QHP\psi - QHQ\psi = 0$$

$\times P$

$$Q\psi = [E - H_{QQ} + i\varepsilon]^{-1} H_{QP}(P\psi)$$

$$EPP\psi + EPQ\psi - PHP\psi - PHQ\psi = 0$$

$$\left(E - H_{PP} - H_{PQ} [E - H_{QQ} + i\varepsilon]^{-1} H_{QP} \right) (P\psi) = 0$$

Hamiltonien
effectif

Construire un potentiel optique : Interaction effective

$$\left(E - H_{PP} - H_{PQ} \left[E - H_{QQ} + i\varepsilon \right]^{-1} H_{QP} \right) (P\psi) = 0$$

Hamiltonien effectif

$$v = V_{PP} + V_{PQ} \left[E - H_{QQ} + i\varepsilon \right]^{-1} V_{QP}$$

Potentiel effectif

Dépendance en E

Dépend du noyau cible



Complexe

Si on cherche l'élément de matrice:

$$\tau_{aa'} = \langle \chi_{a'} | V | \psi_a \rangle$$

cette écriture est équivalente ☺

$$\tau_{aa'} = \langle \chi_{a'} | v | P\psi_a \rangle$$

La matrice g : Interaction effective dans la matière nucléaire

Si l'on écrit l'interaction résiduelle par rapport à un système de particules indépendantes:

$$v = \sum_{i < j} V_{ij} - \sum_i U_i$$

Pour tous les i : $(H_0 - E_i)\phi_i = 0$

et $\Phi = \{\phi_1, \dots, \phi_n\}_a$

Fct d'onde de part. indep.

Ψ solution du Hamiltonien H complet $(H_0 + v - E)\Psi = 0$

Si P_0 projecteur sur les Φ , et $Q_0 = 1 - P_0$, on peut écrire

$$\Psi = \Phi + Q_0 (E_0 - H_0)^{-1} (v - E + E_0) \Psi$$

En itérant: $\Psi = \Phi + Q_0 (E_0 - H_0)^{-1} (v - E + E_0) \Phi + \dots$

$$\Psi = \sum_{n=0}^{\infty} \left[Q_0 (E_0 - H_0)^{-1} (v - E + E_0) \right]^n \Phi$$

La matrice g : Interaction effective dans la matière nucléaire

$$\Psi = \sum_{n=0}^{\infty} [Q_0(E_0 - H_0)^{-1}(v - E + E_0)]^n \Phi$$

En définissant $g = Q_0(E_0 - H_0)^{-1}$ on calcule la correction

$$E - E_0 = \langle \Phi | v | \Psi \rangle = \left\langle \Phi \left| v \sum_{n=0}^{\infty} [g(v - E + E_0)]^n \right| \Phi \right\rangle$$

En développant (et en négligeant les termes en g^2, g^3, \dots):

$$E - E_0 = \langle \Phi | v | \Phi \rangle + \langle \Phi | v g v | \Phi \rangle + \langle \Phi | v g v g v | \Phi \rangle + \dots$$

On peut construire une interaction G à partir de ce résultat

$$G_{ij} = V_{ij} + V_{ij} Q_0 (E - H_0)^{-1} V_{ij} + V_{ij} \left[Q_0 (E - H_0)^{-1} V_{ij} \right]^2 + \dots$$

Equ de Bruckner Bethe Goldstone

La matrice g : Interaction effective dans la matière nucléaire

$$G_{ij} = V_{ij} + V_{ij} Q_0 (E - H_0)^{-1} V_{ij} + V_{ij} \left[Q_0 (E - H_0)^{-1} V_{ij} \right]^2 + \dots$$

G_{ij} est une interaction nucléon-nucléon habillée

$Q_0 \rightarrow$ dépendance en densité (densité réelle \approx densité particules indep.)

Diagrammes en échelle (+ échange)

$$\langle \Psi | G | \Psi \rangle = \langle \Psi | V | \Psi \rangle + \langle \Psi | V g V | \Psi \rangle + \langle \Psi | V g V g V | \Psi \rangle + \dots$$

La matrice g : Interaction effective dans la matière nucléaire

$$G_{ij} = V_{ij} + V_{ij} Q_0 (E - H_0)^{-1} V_{ij} + V_{ij} \left[Q_0 (E - H_0)^{-1} V_{ij} \right]^2 + \dots$$

G_{ij} est une interaction nucléon-nucléon habillée

$Q_0 \rightarrow$ dépendance en densité (densité réelle \approx densité particules indep.)

Dans la matière nucléaire (densité ρ):

$$g_{kf}(E) = V + \sum_{\vec{a}, \vec{b} > kf} V \frac{|\vec{a}\vec{b}\rangle\langle\vec{a}\vec{b}|}{E - e(a) - e(b)} g_{kf}(E)$$

La self-énergie d'un système nucléon(k)-matière nucléaire(kf) est :

$$M_{kf}(k, E) = \sum_{j < kf} \langle \vec{k}j | g_{kf}(E + e(j)) | \vec{k}j \rangle_a = U_{kf}(k, E)$$

L'opérateur de masse, intrinsèquement non local (local si $k(E)$ imposé) c'est le **potentiel optique** dans la matière nucléaire

On voit le bout du tunnel !

On va enfin pouvoir calculer un potentiel optique pour un noyau réel (et voir à quoi servent tous ces délires de théoriciens) !

$$U(\vec{r}, E) = U(\rho(\vec{r}), E) = \int U(\rho(\vec{r}'), E) \delta(\vec{r} - \vec{r}') d\vec{r}'$$

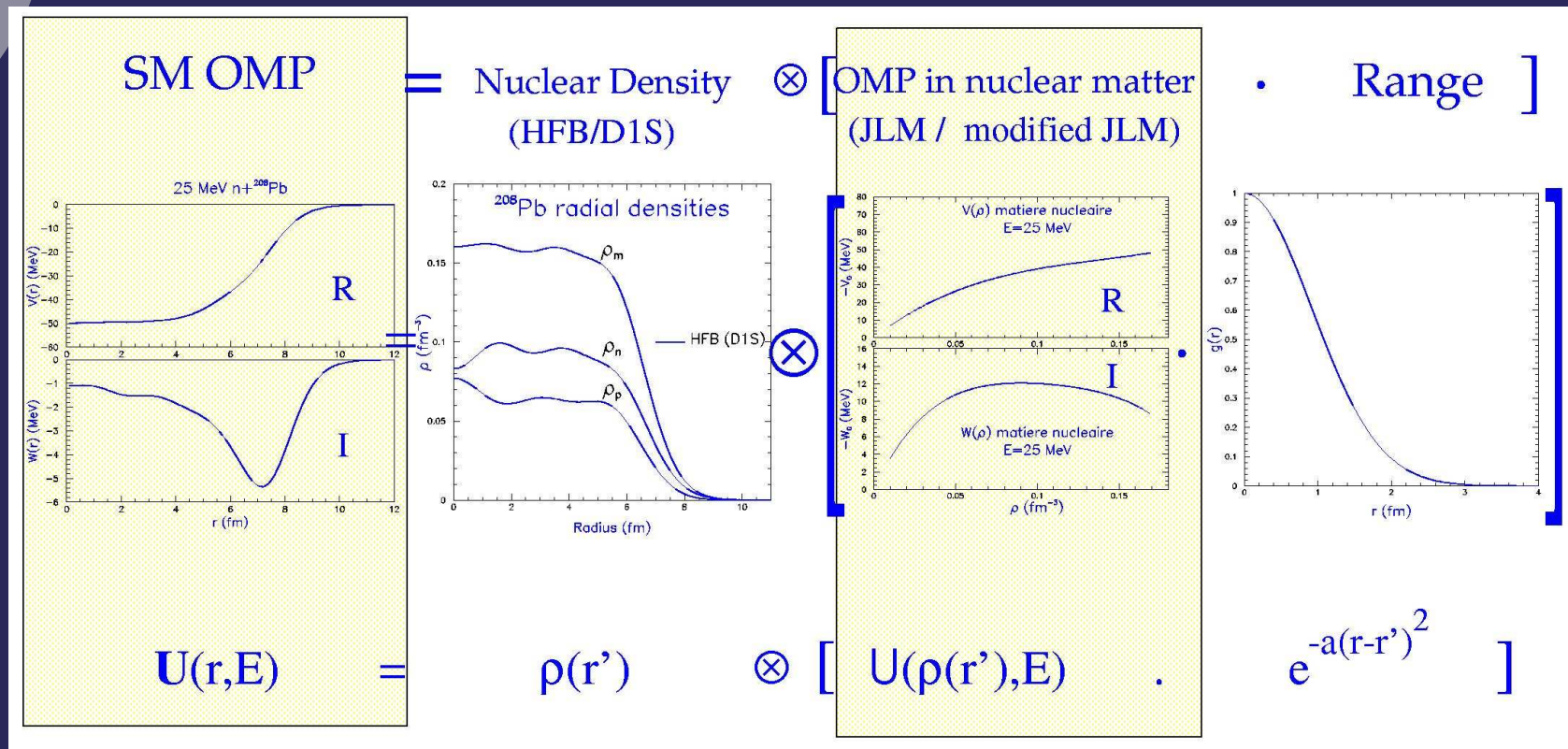
Si l'on a calculé $U(\rho, E)$ et $\rho(r)$ alors on peut calculer $U(r, E)$!

Opérateur de masse
à partir de la matrice g
Indépendant du noyau cible

Calcul de structure nucléaire
dépendant du noyau cible
(modèle en couches,
champ moyen, champ moyen++)

JLM : convolution (r) de l'opérateur de masse (NM) avec la densité radiale

$$U(\vec{r}, E) = \int U(\rho(\vec{r}'), E) e^{-\left(\frac{r-r'}{t}\right)^2} d\vec{r}'$$



JLM : potentiel SEMI-microscopique Lane-consistant

$$U_{\substack{(n,n) \\ (p,p)}}(\rho, E) = l_V(E) [V_0(\rho, E) \pm f_V(E) \cdot \alpha \cdot V_1(\rho, E)] \\ + i l_W(E) [W_0(\rho, E) \pm f_W(E) \cdot \alpha \cdot W_1(\rho, E)]$$

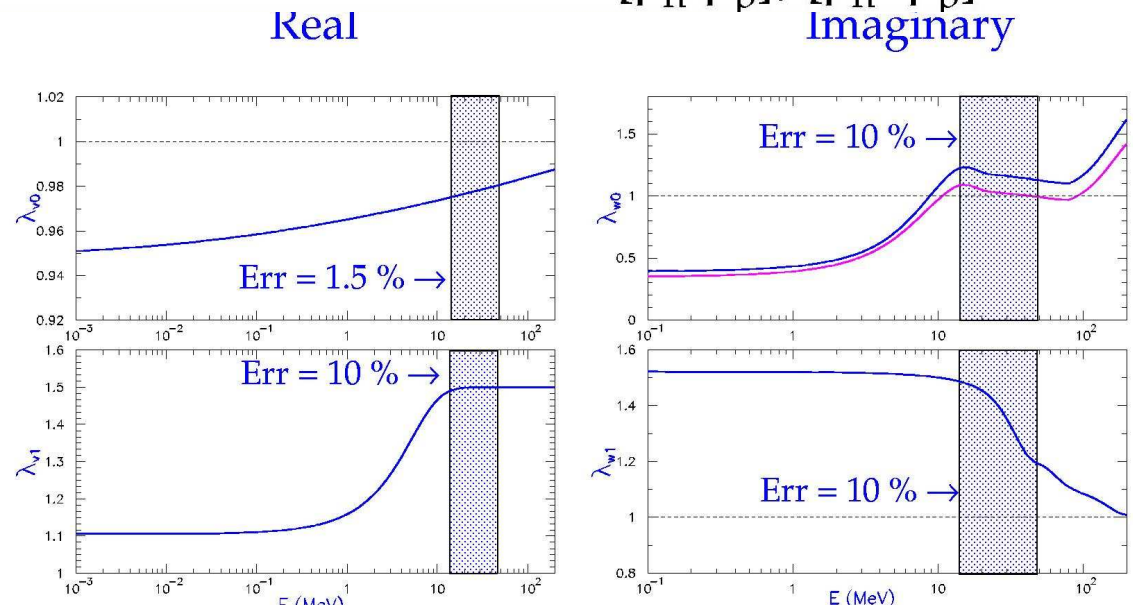
$$U_{(p,n)}(r, E) = 2\sqrt{\frac{\alpha(r)}{A}} [l_V(E) \cdot f_V(E) \cdot V_1(r, E) + l_W(E) \cdot f_W(E) \cdot W_1(r, E)]$$

$$\alpha = [\rho_n - \rho_p] / [\rho_n + \rho_p]$$

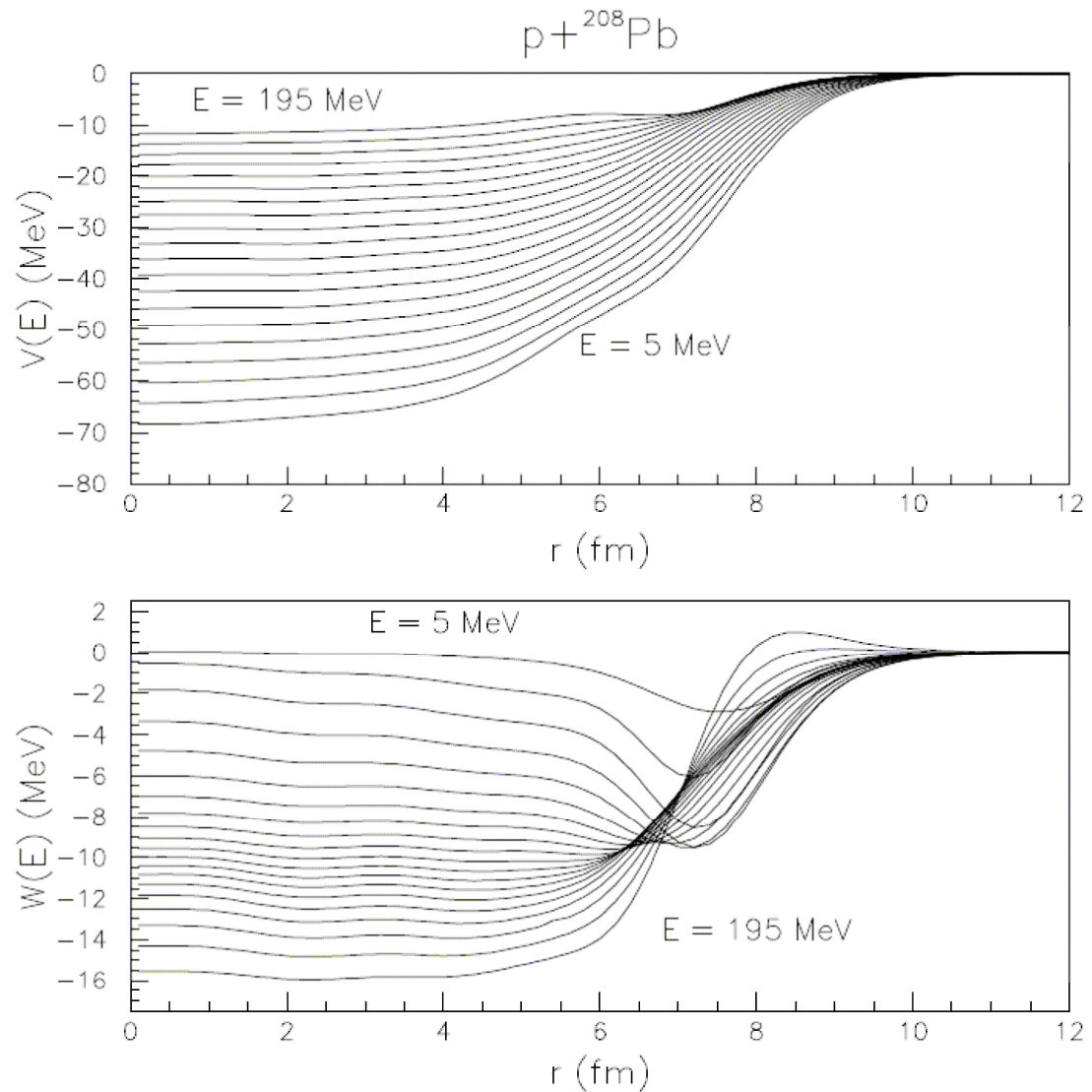
λ : facteurs
de normalisation
phénoménologiques

Isoscalar

Isvector



Potentiel JLM



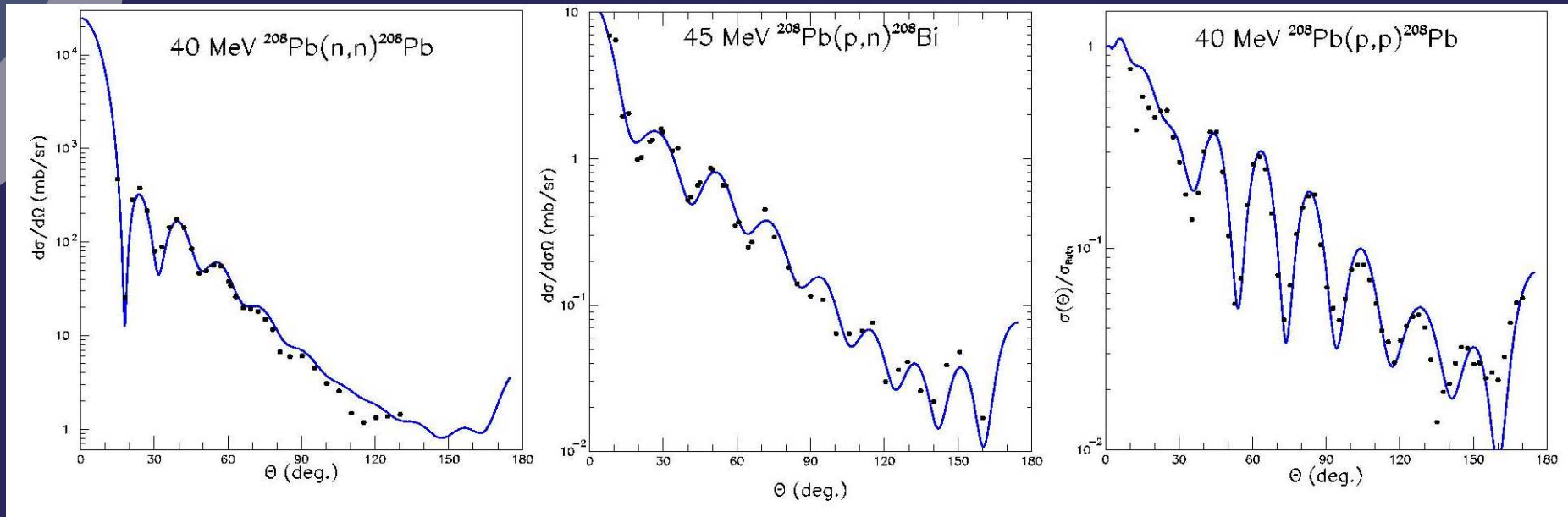
potentiel nucléon-noyau

$1 \text{ keV} < E < 200 \text{ MeV}$

$30 < A_{\text{cible}} < 250$

Calculs JLM+HFBD1S

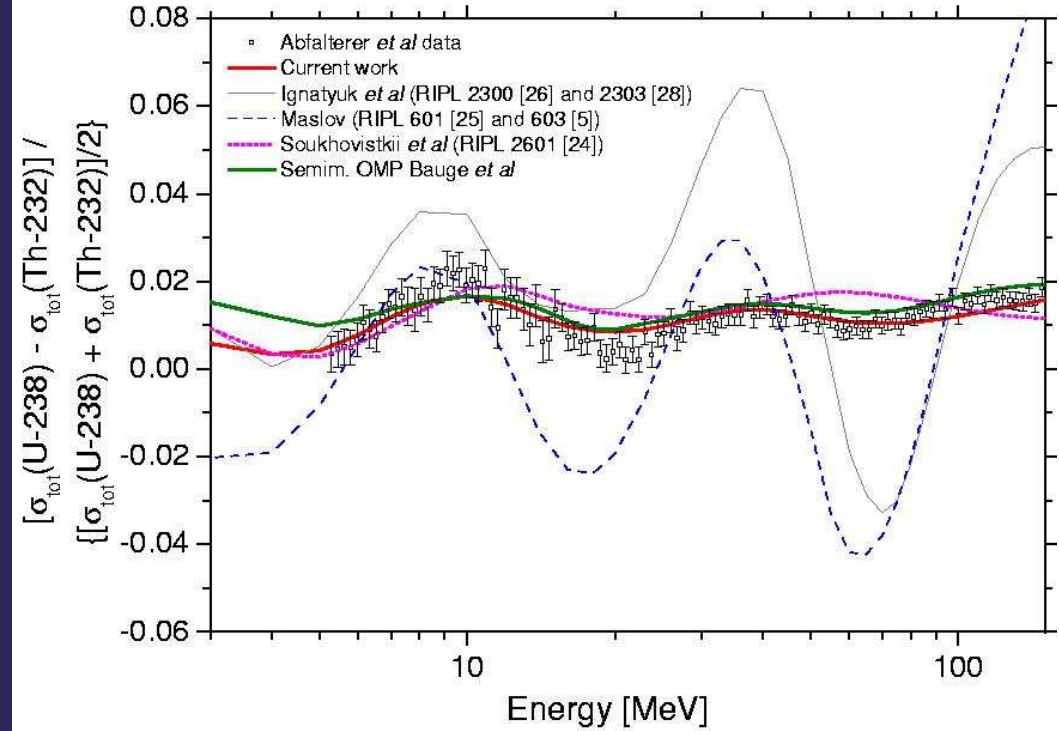
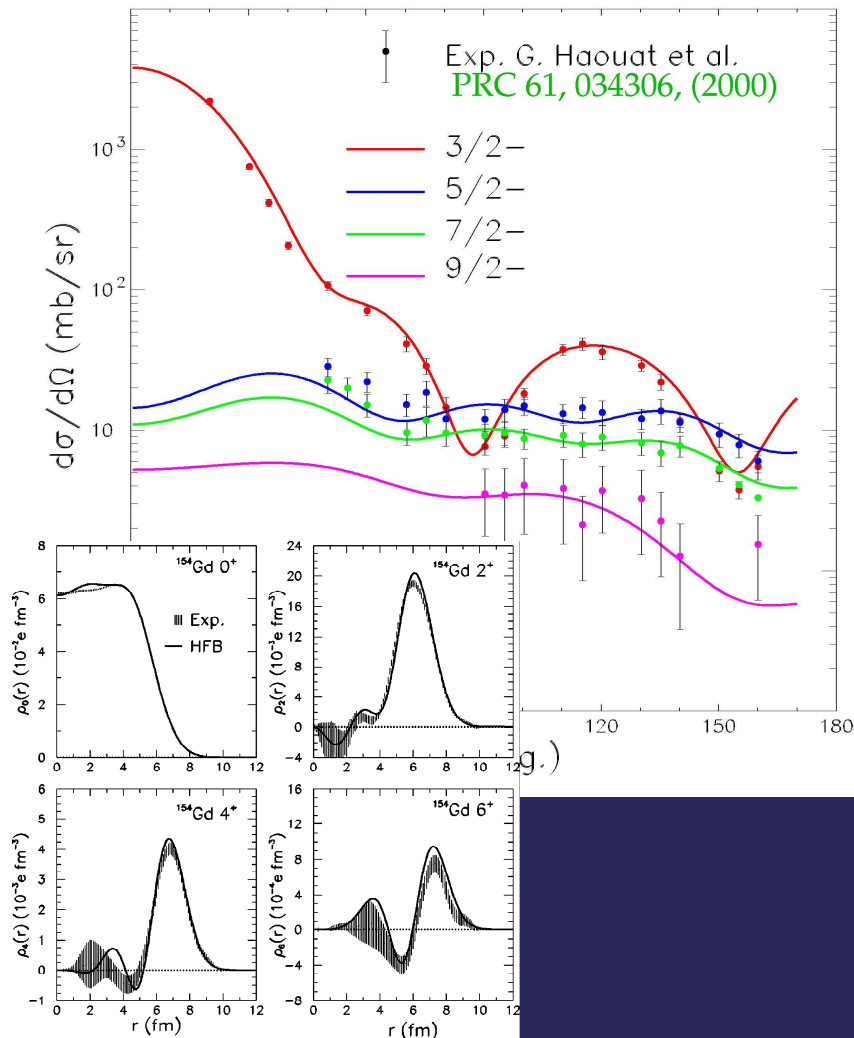
cible stable



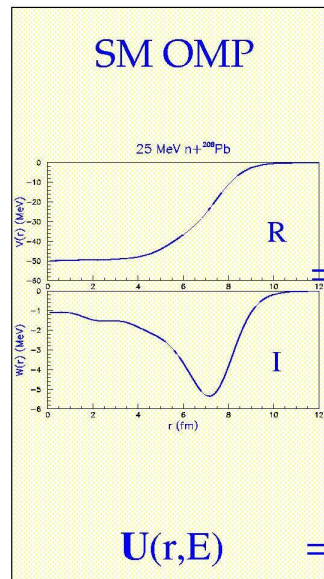
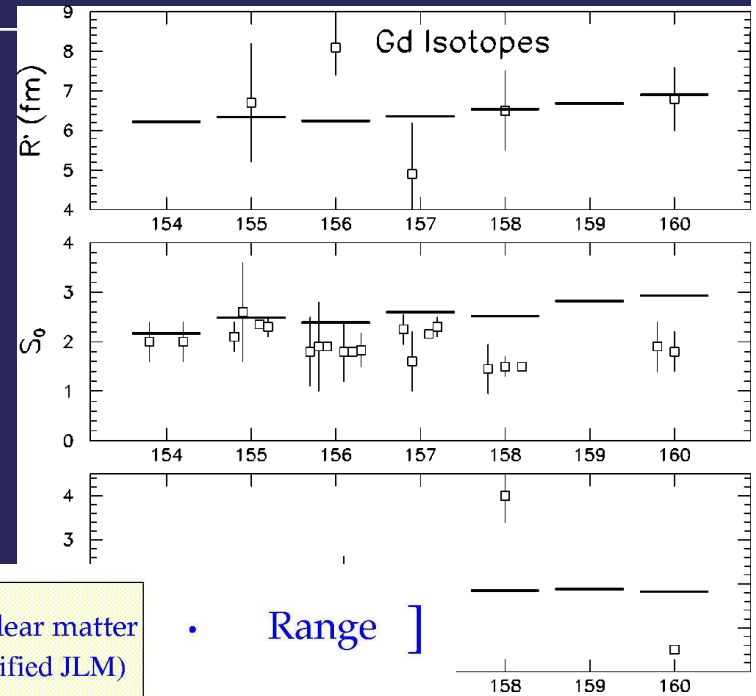
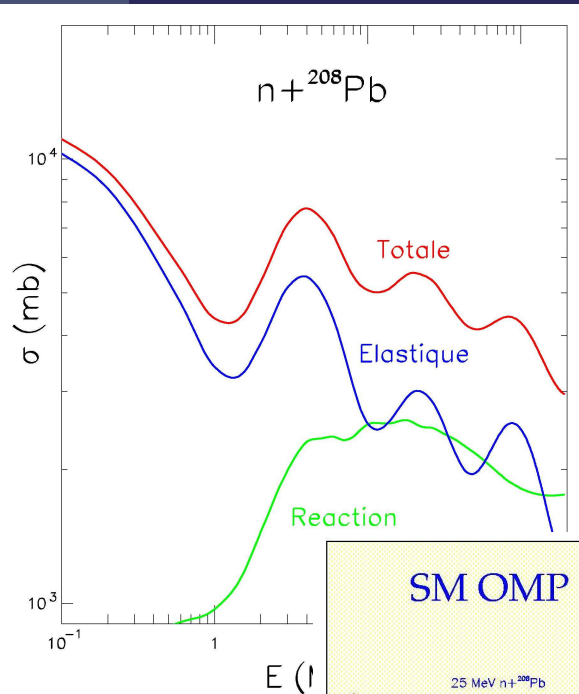
Une seule expression du potentiel dépendante de l'isospin pour protons et neutrons incidents

Calculs JLM+HFB(D1S) cible stable déformés

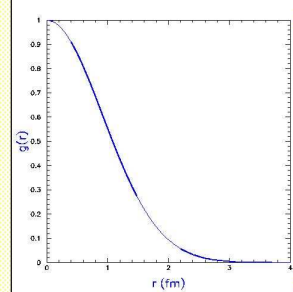
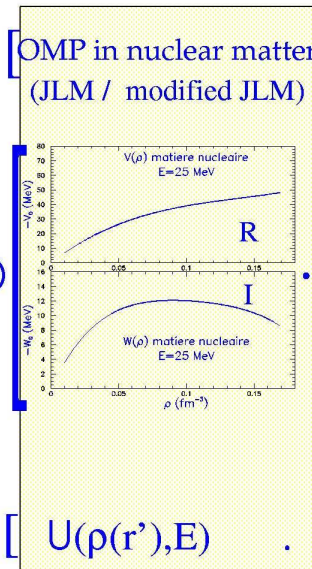
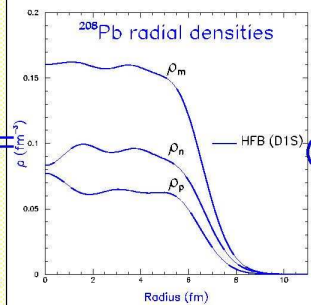
4.1 MeV $^{155}\text{Gd}(n,n')^{155}\text{Gd}$



Y'a quelque chose qui cloche la dedans, j'y retourne immédiatement...



SM OMP = Nuclear Density \otimes [OMP in nuclear matter (JLM / modified JLM) \cdot Range]



$U(r,E)$

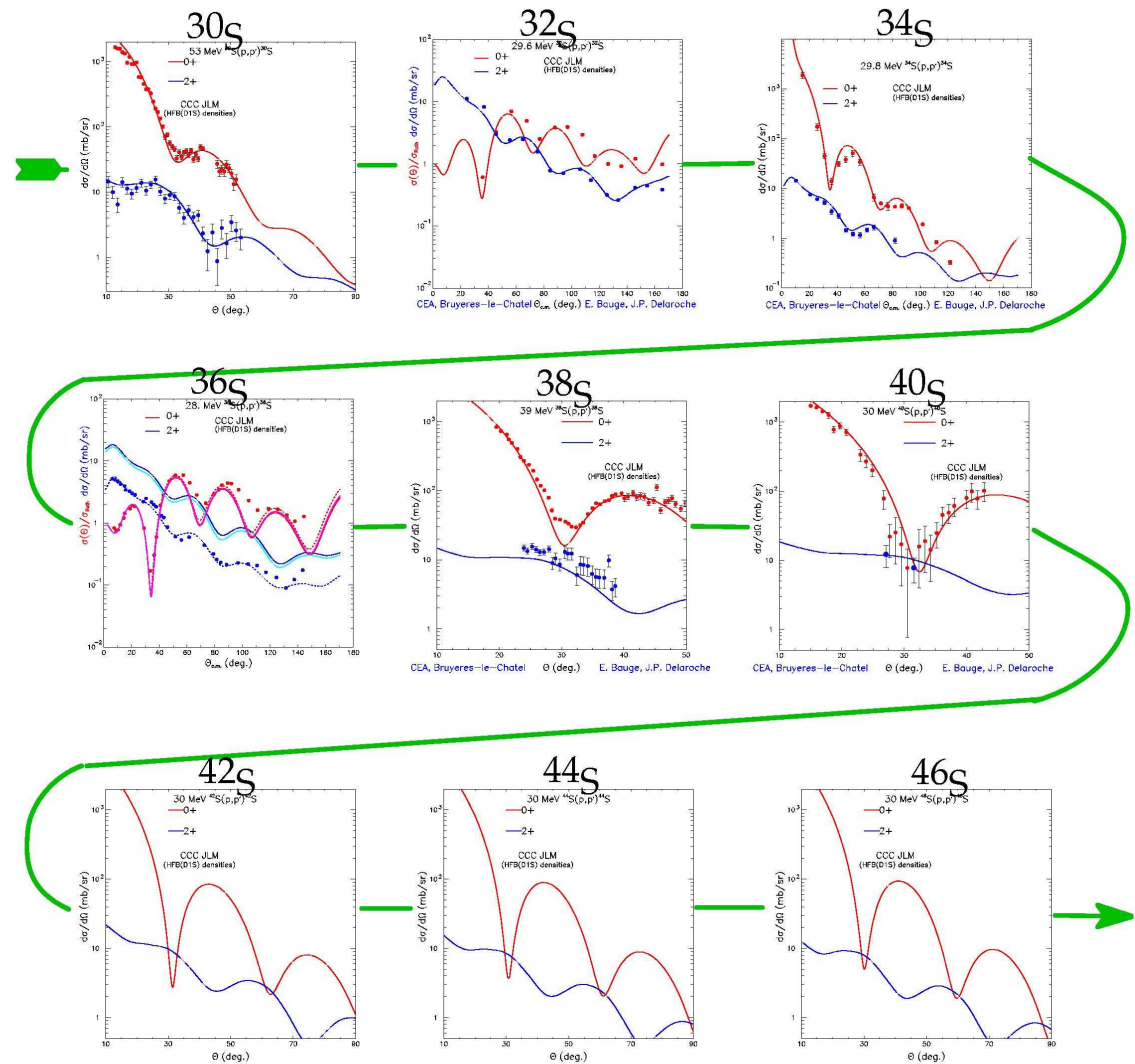
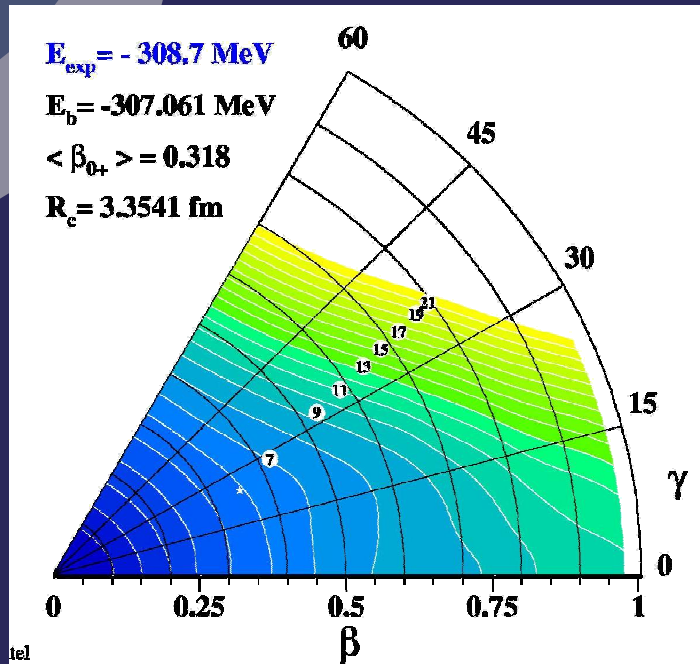
$\rho(r')$

\otimes

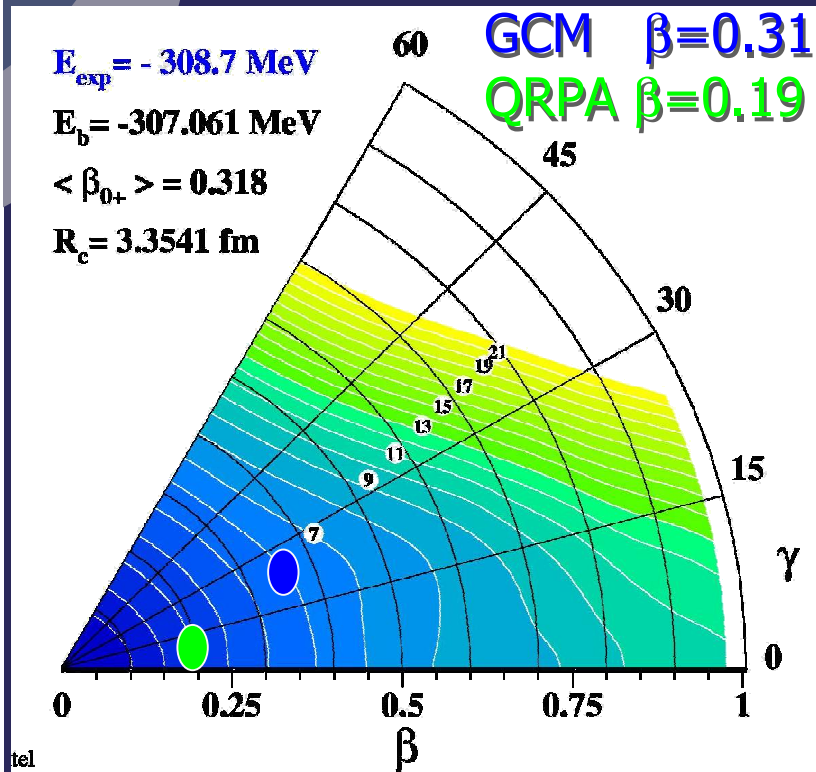
$U(\rho(r'),E)$

$\cdot e^{-a(r-r')^2}$

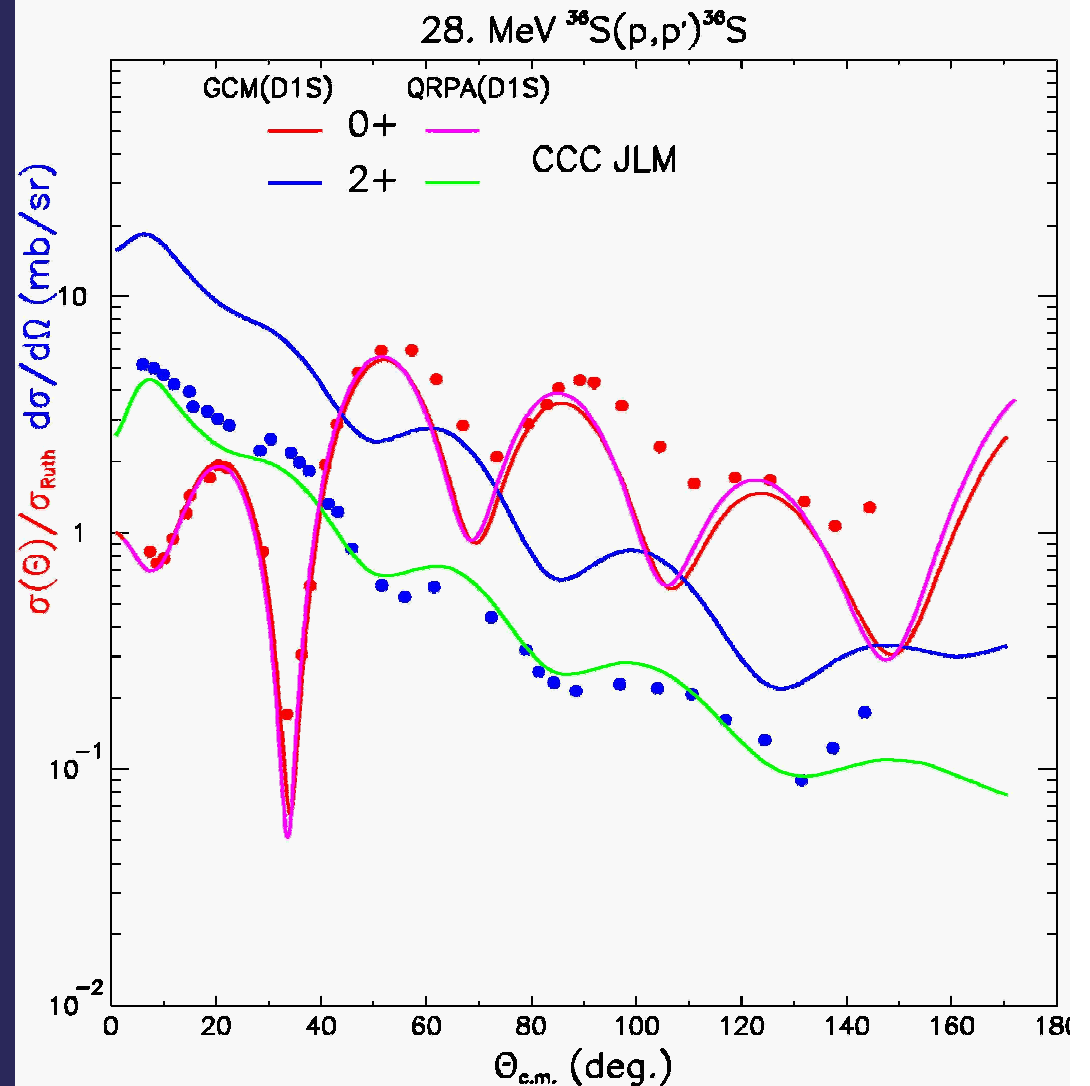
Calculs JLM+HFB(Gogny)+GCM cibles stables et instables



JLM : sensible aux progrès de la structure

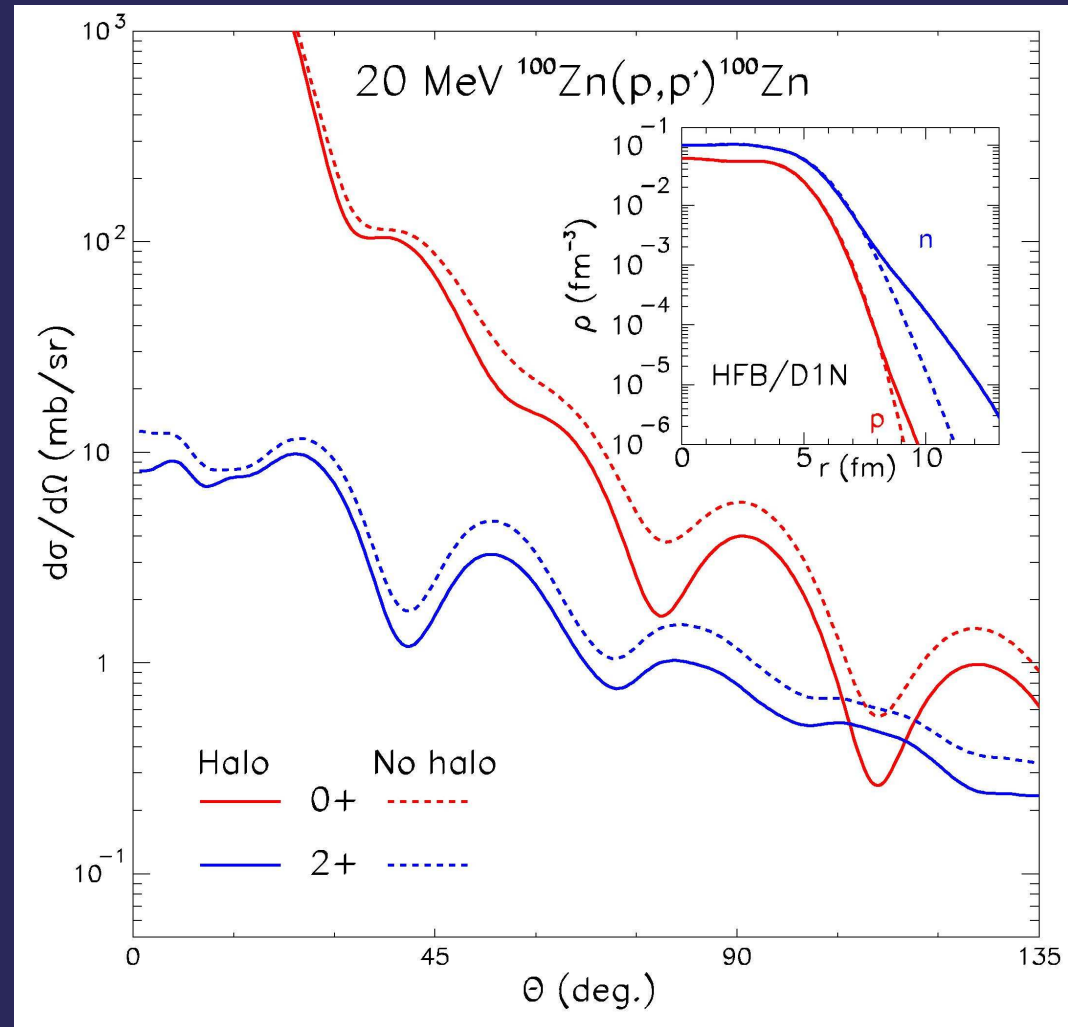


Calcul QRPA S. PERU



JLM prédictions extrêmes à la drip-line

Sensibles à la structure nucléaire



Extrait de : « SPIRAL-2 : Scientific objectives »

Melbourne: convolution (r) d'une matrice g avec la matrice densité

$$\left[\frac{\hbar^2}{2\mu} \nabla^2 - V_C(\vec{r}) + E \right] \chi(\vec{r}) = \int U(\vec{r}, \vec{r}') \chi(\vec{r}') d\vec{r}'$$

$$U(\vec{r}, \vec{r}', E) = \sum_{\alpha\beta} \rho_{\alpha\beta} \left(\phi_{\alpha}^*(\vec{r}) g_{kf}(r, r, E) \phi_{\beta}(\vec{r}) + \phi_{\alpha}^*(\vec{r}) g_{kf}(r, r', E) \phi_{\beta}(\vec{r}') \right)$$

Pot. optique
non local

Informations de structure:
matrice densité (HF ou RPA, SM)
et fct d'onde à 1 particule

Matrice g de Melbourne
Non ajustée !
Calculée à partir de
L'int. De Bonn

Melbourne inélastique

Etats de cible initial et final
information de structure nucléaire

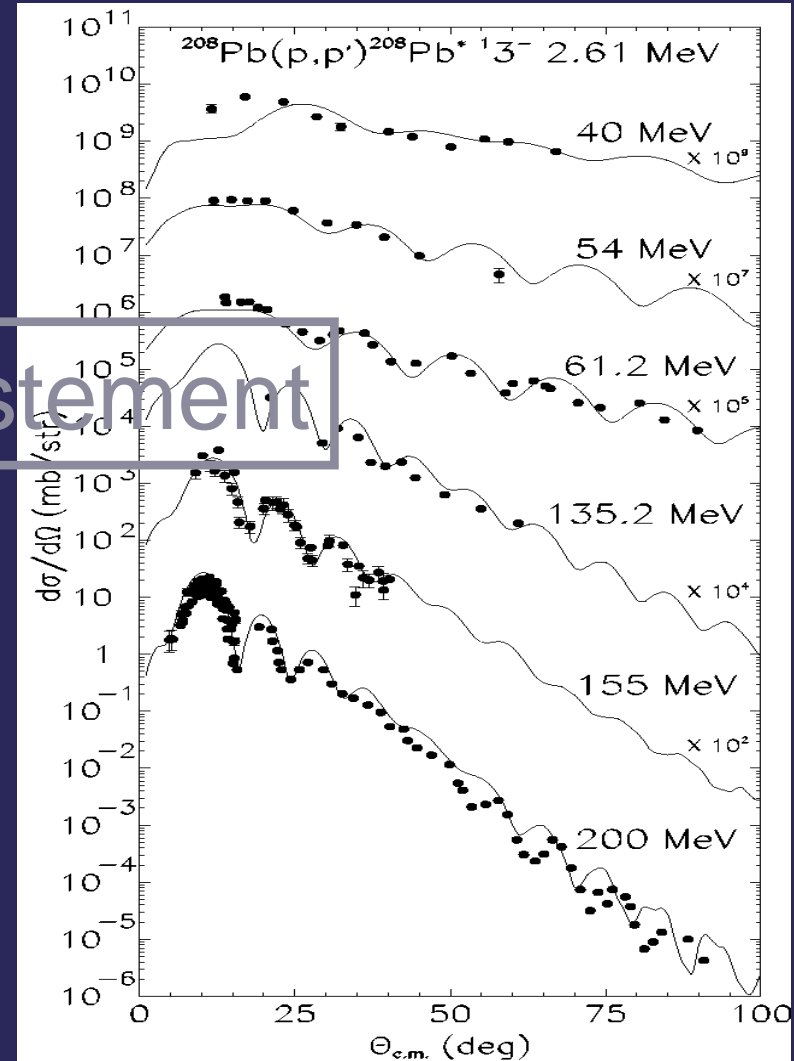
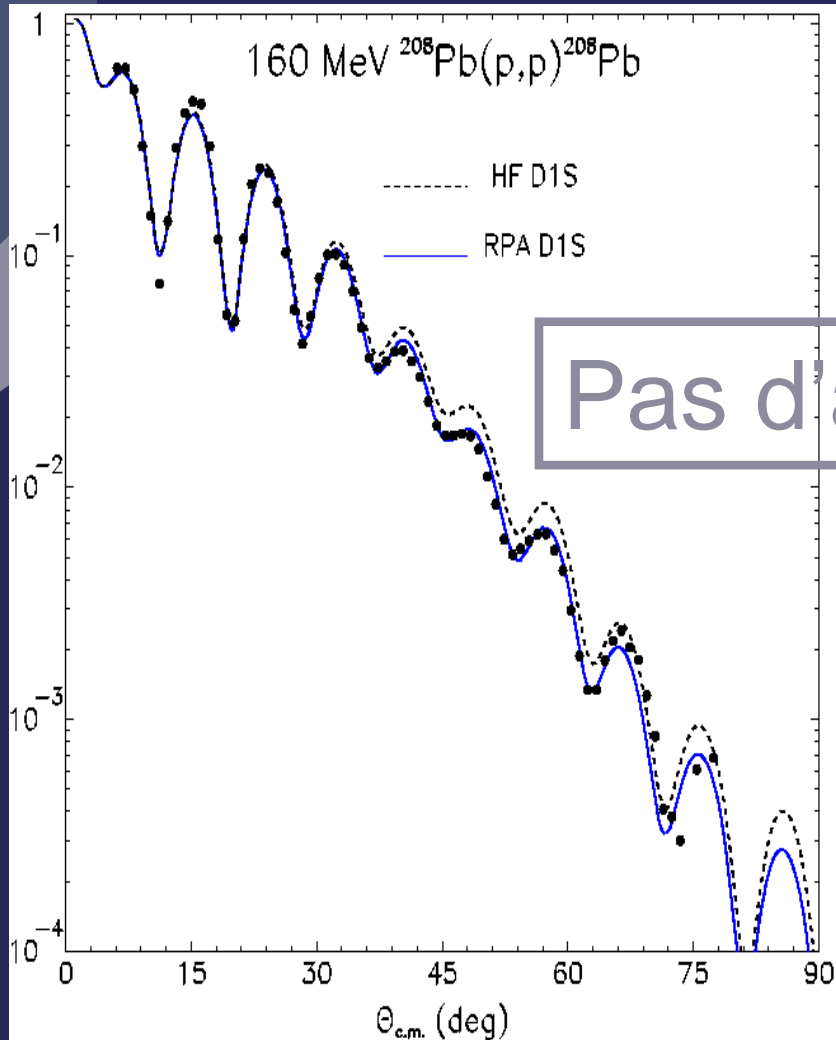
Matrice g de Melbourne
(isoscalaire, isovecteur,
spin-orbite, $\sigma \cdot \tau$)

$$\frac{d\sigma(\vec{k}_i, \vec{k}_f)}{d\Omega} \sim \left| \left\langle \chi^+(\vec{k}) \left| \langle \tilde{0} | V | n_f \rangle \right| \chi^-(\vec{k}_f) \right\rangle \right|^2 = |T^{(1)}|^2$$

DWBA

$$\left[\frac{\hbar^2}{2\mu} \nabla^2 - V_c(\vec{r}) + E \right] \chi(\vec{r}) = \int U(\vec{r}, \vec{r}') \chi(\vec{r}') d\vec{r}'$$

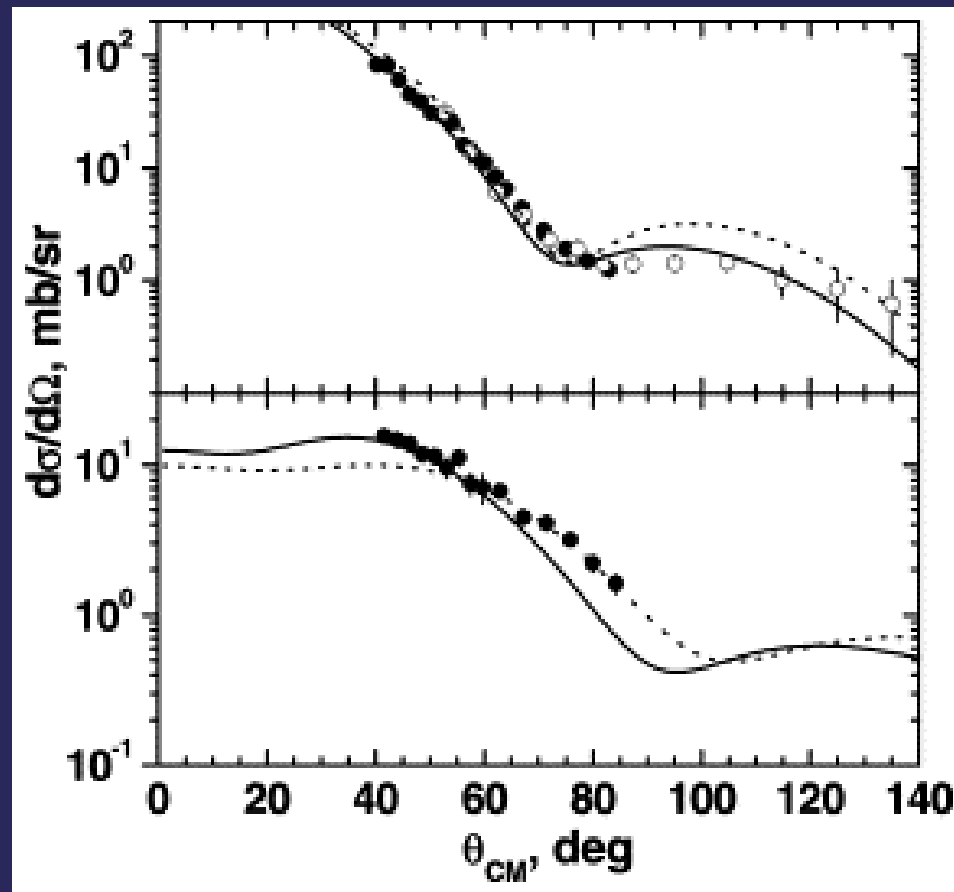
Calculs Melbourne+ (HF ou RPA) Cible stable



Pas d'ajustement

Calculus Melbourne+ (Shell model) Cible instable

24.5 A MeV p(6He,6He')p



S.V. Stepansov et al. Phys. Lett. B **542**, 35 (2002)

ABL (Arellano, Brieva, Love)

convolution (p) d'une matrice g avec la densité

$$U(\vec{k}, \vec{k}', E) = \int \langle \vec{k}' \vec{p}' | g_{kf}(E) | \vec{k} \vec{p} \rangle \rho(\vec{p}, \vec{p}') d\vec{p} d\vec{p}' \quad 9D$$

H.F. Arellano, Phys Rev C 52,301 (1995)

Si g a la symétrie sphérique U peut se réécrire (exact)

$$U = \int d\vec{P} \rho(\vec{q}, \vec{P}) g_{\infty} - \int d\vec{Q} d\vec{P} \rho(\vec{Q}, \vec{p}) \int_0^{\infty} Z^3 dZ \frac{j_1(Z|\vec{Q} - \vec{q}|)}{Z|\vec{Q} - \vec{q}|} \frac{\partial g_z}{\partial Z} \quad 7D$$

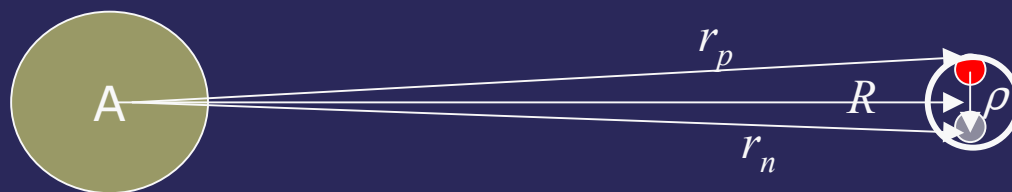
Avec:

$$\frac{\partial g_z}{\partial Z} = \frac{\partial g}{\partial \rho} \frac{\partial \rho}{\delta Z}$$

La sensibilité à la dépendance en densité est limitée à la surface

H.F. Arellano et al., Phys Rev C 76, 014613 (2006)

Un autre type de convolution : CDCC pour les deutons incidents



Hamiltonien

$$\hat{H}_{eff} = \bar{p} \left[\hat{T}_{\vec{R}} + U_p(\vec{r}_p, E/2) + U_n(\vec{r}_p, E/2) + \underbrace{\hat{T}_{\vec{\rho}} + V_{pn}(\vec{\rho})}_{\hat{H}_{pn}} + V_p^{(Coul)}(R) \right] \bar{p}$$

Forme de la fct d'onde : couplage aux excitations du projectile

$$\Psi_{JM} = \sum_{L=|J-1|}^{J+1} \left[\Phi_0(\vec{\rho}) \otimes \chi_0(L, J; \vec{R}) \right]_{JM} + \sum_{l=0}^{\infty} \sum_{I=|l-S|}^{l+S} \sum_{L=|J-I|}^{J+I} \underbrace{\int_0^{\infty} \left[\Phi^{(2S+1)l_I; k, \vec{\rho}} \otimes \chi^{(2S+1)l_I, L, J; P_k, \vec{R}} \right]_{JM} dk}_{B}$$

Un exemple où la structure (du deuteron) et la réaction sont traitées sur un pied d'égalité

CDCC pour les deutons incidents

Solution

CDCC : Continuum Discretized Coupled Channels

Le continuum est discrétisé.

Les ondes distordues du continuum sont remplacées par leur moyenne sur un intervalle de discrétisation

$$\chi^{(2S+1)l_I, L, J; P_k, \vec{R}} \sim \chi^{(2S+1)l_I, L, J; \hat{P}_i, \vec{R}}, \forall k \in [k_i, k_{i+1}]$$

$$\begin{aligned} B &= \int_0^\infty \left[\Phi^{(2S+1)l_I; k, \vec{\rho}} \otimes \chi^{(2S+1)l_I, L, J; P_k, \vec{R}} \right]_{JM} dk \\ &= \sum_{i=1} \left[\tilde{\Phi}_i^{(2S+1)l_I; \vec{\rho}} \otimes \tilde{\chi}_i^{(2S+1)l_I, L, J; \vec{R}} \right]_{JM} \end{aligned}$$

Les développements sont tronqués en l et k

$$\left(-\frac{\hbar^2}{2\mu_R} \frac{d^2}{dR^2} + \frac{\hbar^2 L(L+1)}{2\mu_R R^2} + V_p^{(Coul)} - E_i \right) u_c^J(R) = - \sum_{c'} F_{cc'}^J(R) u_{c'}^J(R)$$

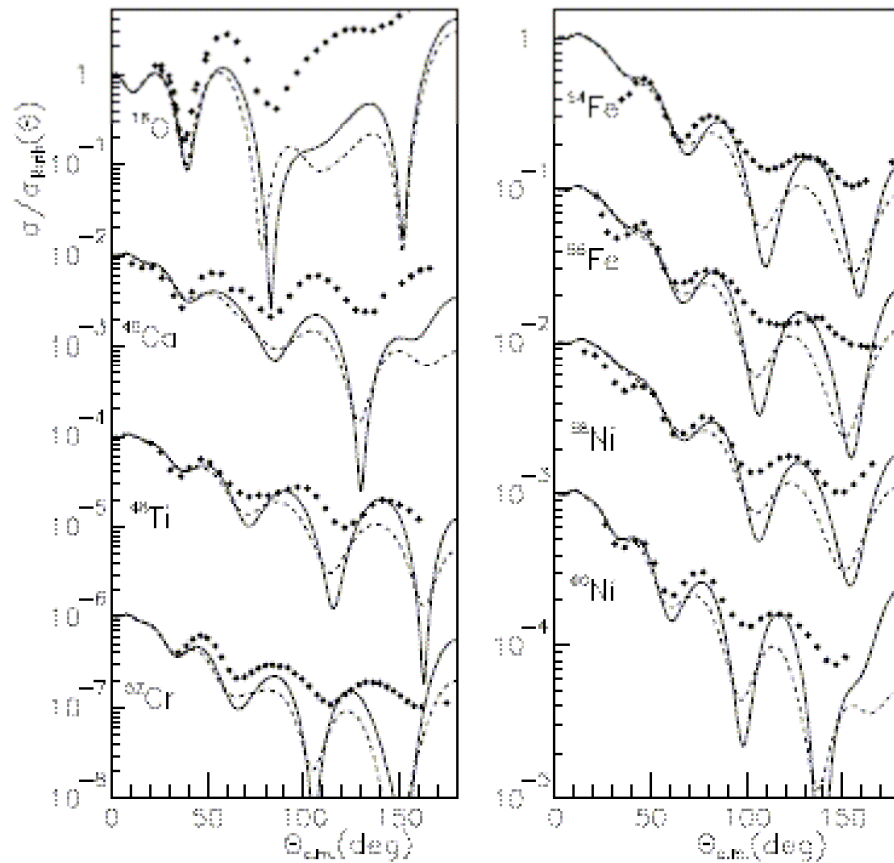
avec

$$F_{cc'}^J = \left\langle \left[\tilde{\Phi}_i \otimes Y_L(\hat{R}) \right]_{JM} \left| U_p + U_n \right| \left[\tilde{\Phi}_{i'} \otimes Y_{L'}(\hat{R}) \right]_{JM} \right\rangle_{\hat{R}, \hat{\rho}, \rho}$$

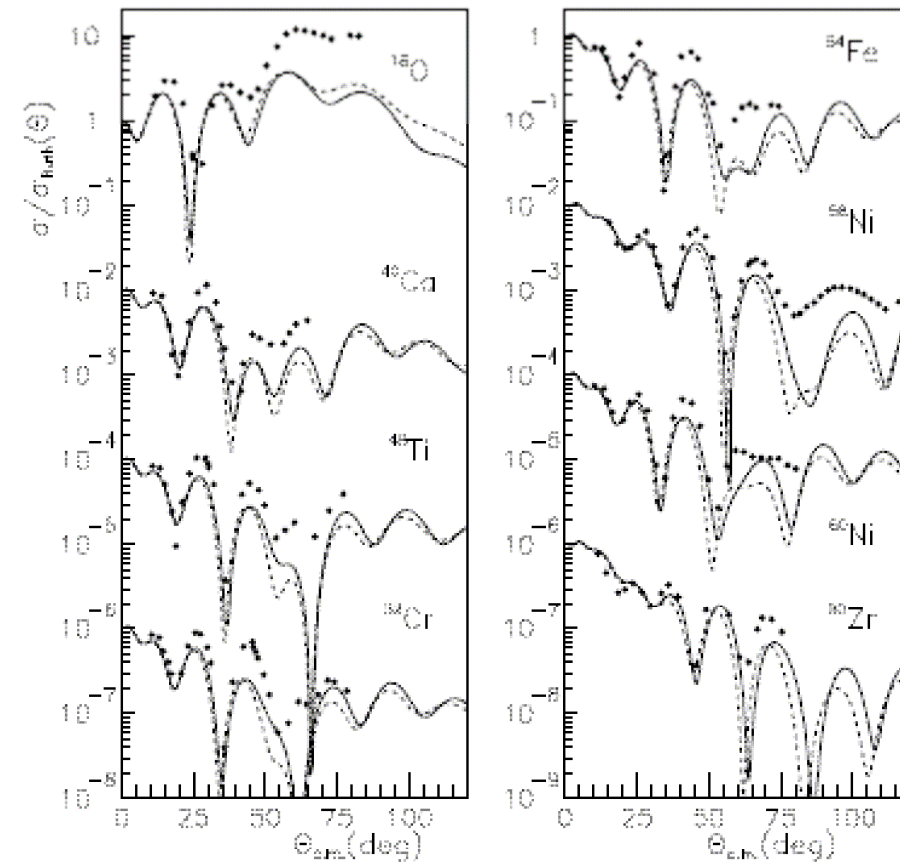
CDCC pour les deutons incidents

Résultats

Ratio of differential cross sections $\sigma(\theta)/\sigma_{Ruth}$
for 12 MeV deuterons incident on (near)-spherical targets



Ratio of differential cross sections $\sigma(\theta)/\sigma_{Ruth}$
for 34 MeV deuterons incident on (near)-spherical targets



Potentiel optique phénoménologique

$U(r,E)$: local, complexe, paramétrisé par des formes fonctionnelles simples

$$\begin{aligned} U(r, E) &= [V_V(E) + iW_V(E)]f(r, R, a) \\ &+ [V_S(E) + iW_S(E)]g(r, R, a) \\ &+ [V_{SO}(E) + iW_{SO}(E)] \\ &\times \left(\frac{\hbar}{m_\pi c} \right)^2 \frac{1}{r} g(r, R, a) \mathbf{1} \cdot \boldsymbol{\sigma} \end{aligned}$$

Ex: A.J. Koning, J.P. Delaroche,
Nucl. Phys. **A713**, 231 (2003)

19 paramètres ajustés entre 1 keV et 200 MeV.

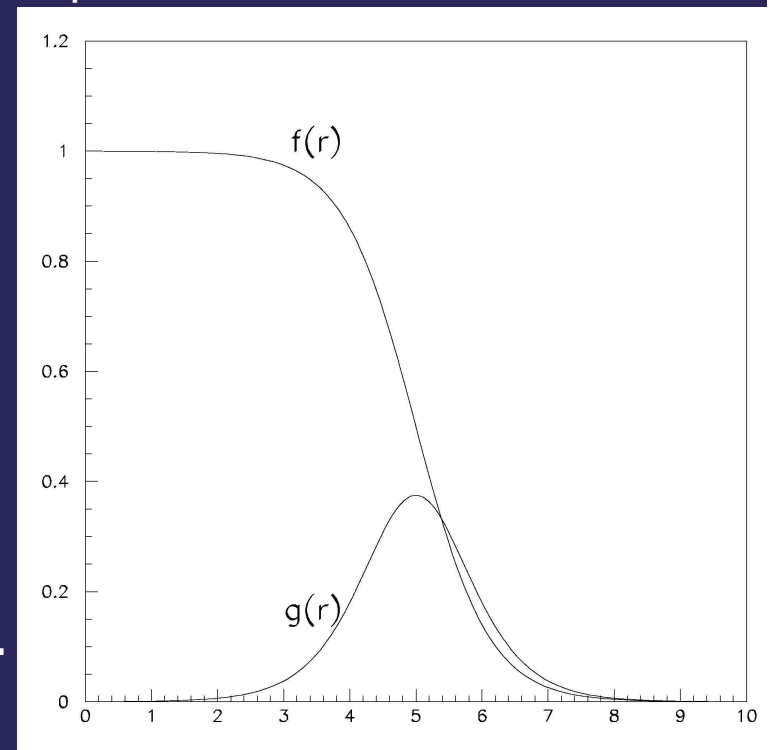
Ajustement dans la vallée de stabilité

→ extrapolation hasardeuse

→ interpolation de bonne qualité

Ajustement très fin possible.

Facile et rapide à calculer ($U(r)=f(A,E)$).



Potentiel optique phénoménologique dispersif

$U(r,E)$: local, complexe, paramétrisé par
des formes fonctionnelles simples
Mais causalité + théorème de Cauchy

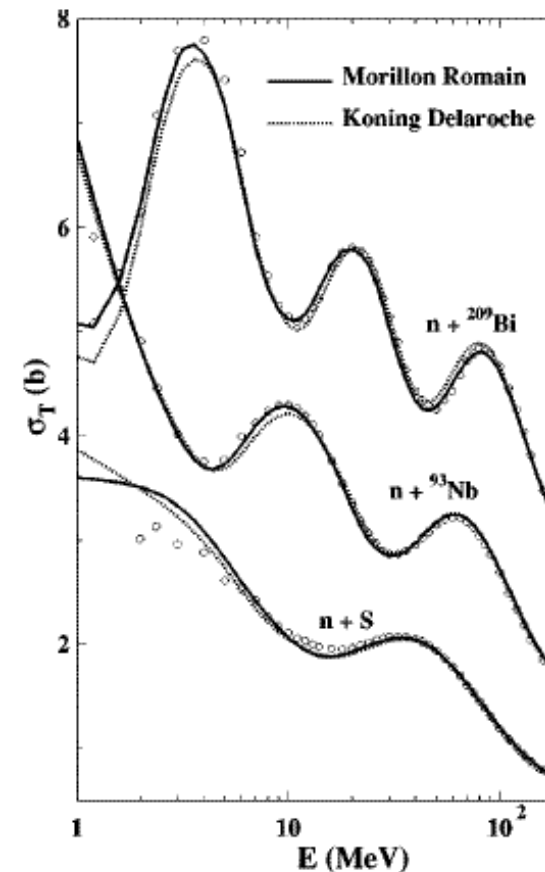
$$\Delta V(E) = \frac{P}{\pi} \int_{-\infty}^{+\infty} \frac{W(E')}{E' - E} dE'$$

$$V_V(E) \longrightarrow V_V(E) + \Delta V_V(E)$$

$$V_S(E) \longrightarrow \Delta V_S(E)$$

$$V_{S.O.}(E) \longrightarrow V_{S.O.}(E) + \Delta V_{S.O.}(E)$$

Morillon, et al, Phys. Rev. C **70**, 14601 (2004)
Semblable à Koning Delaroche
+ correction de non-localité
+ 14 (au lieu de 19) paramètres ajustés
+ extension aux énergies négatives



Anti-résumé : sujets non développés

- Le potentiel spin-orbite
- Le potentiel Coulombien
- Approche relativiste: equ. de Dirac
- Relations de dispersion (Bonus dans le cours écrit)

Remerciements

Pierre Chau, Jean-Paul Delaroche, Marc Dupuis,
Sophie Peru, Jacques Raynal, Pascal Romain

et les étudiants du DEA NAAP de Bordeaux qui ont
essuyé les plâtres de ce cours.